

# ロー・バッテリ遮断機能付き 100mA ワイヤレス・リチウムイオン・チャージャ

### 特長

- フル機能のワイヤレス電源レシーバー、 リチウムイオン・チャージャおよび PowerPath™ コントローラ
- ワイヤレス入力電源の制御および整流
- 広帯域ワイヤレス電源周波数:DC~>10MHz
- ピン選択可能な充電電流:10mA/25mA/50mA/100mA
- ピン選択可能な充電電圧:4.0V/4.1V/4.2V/4.35V
- ピン選択可能なロー・バッテリ遮断機能:2.7V/3.2V
- 遮断/出荷モードでのゼロ・バッテリ・ドレイン電流
- ロー・バッテリ・プリチャージ電流用のピン選択可能なイネーブル
- 規定充電温度用NTC入力
- 安全充電終了タイマー
- 少ない外付け部品によるソリューション全体サイズの 小型化
- 熱特性が改善された小型12ピン、 2mm×2mm LQFNパッケージ

### アプリケーション

- 医療用ワイヤレス・センサー
- 防衛用ウェアラブル・デバイス
- ハイ・エンドのワイヤレス・ヘッドセット
- Bluetooth 接続のストリーミング・ヘッドセット
- 仮想現実用ヘッドセット
- ハイ・エンドのリモート制御
- loTデバイス

### 概要

LTC<sup>®</sup>4124は、ロー・バッテリ遮断機能を備えた高性能ワイヤレス・リチウムイオン・チャージャです。充電電流(最大100mA)および充電電圧をピンで選択できるので、必要な外付け部品を最小限に抑えながら、汎用性を確保できます。

LTC4124を使ったワイヤレス充電ではデバイスを筐体内に密封した状態で充電でき、スペース制約があるアプリケーションで大型のコネクタが不要になります。露出した導電性コネクタが不要なので、デバイスの堅牢性を高めつつ、より快適なユーザー・エクスペリエンスを実現できます。

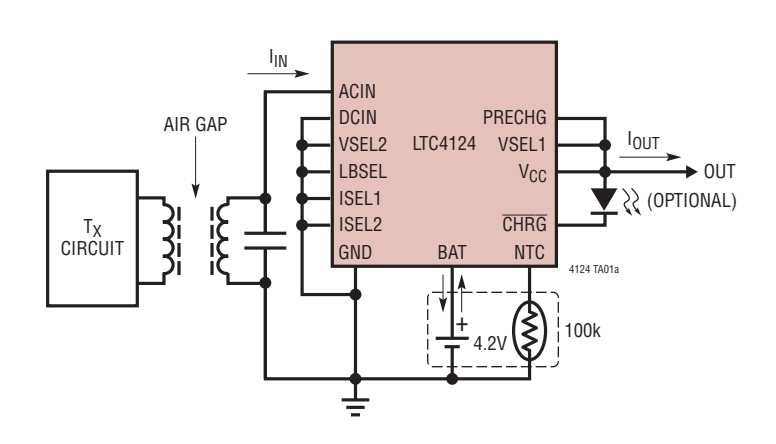
LTC4124は、安全な規定充電温度用のNTC入力と、過放電によるバッテリの損傷を防ぐためのバッテリ遮断機能を備えています。

2mm×2mm LQFNパッケージと最少の外付け部品点数を特徴とするLTC4124は、ソリューション・サイズの小型化が必須の低消費電力ポータブル・アプリケーションに最適です。

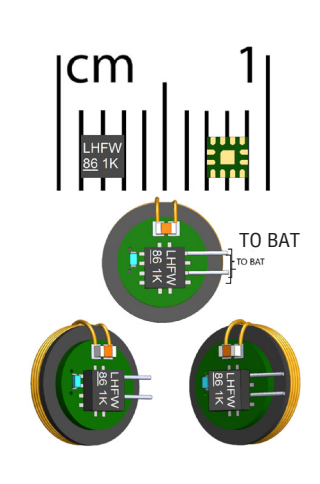
全ての登録商標および商標の所有権は、それぞれの所有者に帰属します。

# 標準的応用例

1mAプリチャージ調整および2.7Vロー・バッテリ遮断機能付き 10mA、4.2Vワイヤレス・リチウムイオン・チャージャ



完全なアプリケーション回路基板を含むデバイスの 上面図と底面図



Rev. 0

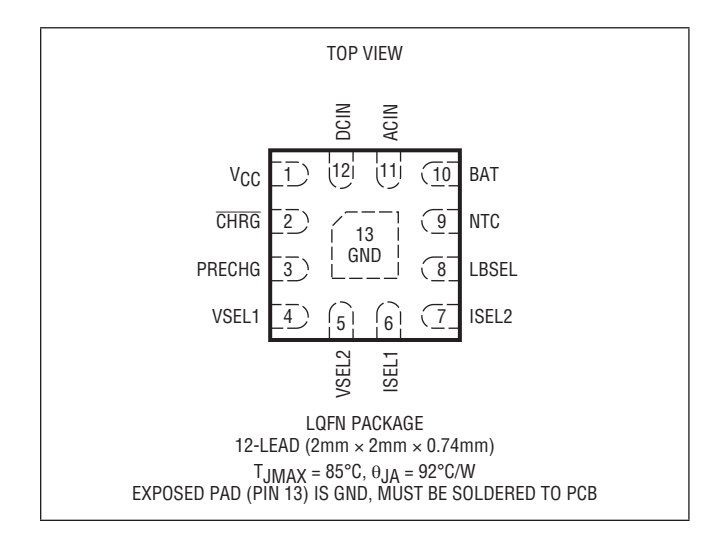
- 1

# 絶対最大定格

### (Notes 1, 2)

入力電源電圧	
DCIN, V <sub>CC</sub> , BAT	0.3V~6V
ACIN	$V_{CC} - 40V \sim V_{CC} + 0.3V$
入力電源電流	
I(ACIN)	200mA
I(DCIN)	200mA
CHRG	0.3V~V <sub>CC</sub> + 0.3V
ピンの設定	
VSEL1、VSEL2、ISEL1、ISEL2	0.3V~V <sub>CC</sub> + 0.3V
NTC、LBSEL、PRECHG	0.3V $\sim$ V <sub>CC</sub> + 0.3V
動作ジャンクション温度範囲	
(Note 3)	20°C~85°C
保存温度範囲	−40°C~125°C
最大リフロー(パッケージ本体)	
温度	260°C

# ピン配置



# 発注情報

製品番号	製品マーキング*	仕上げコード	パッド仕上げ	パッケージ** タイプ	MSL定格	温度範囲
LTC4124EV#TRPBF	LHFW	e4	Au (RoHS)	LQFN (Laminate Package with QFN Footprint)	3	-20°C to 85°C
LTC4124EV#TRMPBF	LHFW	e4	Au (RoHS)	LQFN (Laminate Package with QFN Footprint)	3	-20°C to 85°C

- 更に広い動作温度範囲で規定されるデバイスについては、弊社または弊社代理店に お問い合わせください。\* デバイスの温度グレードは出荷時のコンテナのラベルで 識別されます。
- パッドの仕上げコードはIPC/JEDEC J-STD-609 に準拠しています。

- 推奨のPCBアセンブリ手順および製造手順についての参照先
- パッケージの図面

製品名の末尾がPBFのデバイスはRoHSおよびWEEEに準拠しています。 \*\*LTC4124パッケージの寸法は、標準の2mm×2mm×0.74mm QFNパッケージと同じです。

# 電気的特性

●は規定動作ジャンクション温度範囲の規格値を意味する。それ以外はTA = 25°Cでの値。注記がない限り、VCC = 5V (Note2、3)。

SYMBOL	PARAMETER	CONDITIONS		MIN	TYP	MAX	UNITS
V <sub>DCIN</sub>	DC Input Supply Operating Range		•	3.3		5.5	V
V <sub>CC</sub>	Supply Operating Range		•	2.7		5.5	V
l <sub>VCC</sub>	Input Quiescent Current	V <sub>CC</sub> = 5V, Not Charging	•		120	250	μA
I <sub>BAT</sub>	Battery Quiescent Current	Done Charging or Not Charging, $V_{\text{CC}} > V_{\text{BAT}}$	•		3.5	7	μA
		$ \label{eq:local_point}                                    $	•		8 8	15 80	μ <b>Α</b> μ <b>Α</b>
		$\label{eq:local_policy} \begin{array}{l} \text{Ideal Diode Mode, ACIN} = \text{DCIN} = \text{OV,} \\ \text{NTC} = 100 k\Omega \text{ to GND} \\ \end{array}$	•		28 28	35 100	μ <b>Α</b> μ <b>Α</b>
			•		0	50	nA
		Ship Mode, at any V <sub>BAT</sub> Voltage Level, ACIN = DCIN = V <sub>CC</sub> = 0V	•		0	50	nA
ワイヤレスお	よびDCパワー・マネージメント						
$\Delta V_{CC(HIGH)}$	V <sub>CC</sub> High Voltage Limit above V <sub>BAT</sub>	$V_{CC}$ Rising, $V_{BAT} = 3.6V$			1.05		V
$\Delta V_{CC(LOW)}$	V <sub>CC</sub> Low Voltage Limit above V <sub>BAT</sub>	V <sub>CC</sub> Falling, V <sub>BAT</sub> = 3.6V			0.85		V
	ACIN to V <sub>CC</sub> Voltage Drop	$V_{ACIN} = 5V$ , $V_{DCIN} = 0V$ , $I_{VCC} = -100$ mA, Not Charging			0.45		V
	DCIN to V <sub>CC</sub> Voltage Drop	$V_{DCIN} = 5V$ , $V_{ACIN} = 0V$ , $I_{VCC} = -100$ mA, Not Charging			0.45		V
バッテリ充電	1						
V <sub>UVCL</sub>	V <sub>CC</sub> Undervoltage Current Limit Regulation Point	I <sub>SEL1</sub> = I <sub>SEL2</sub> = V <sub>CC</sub> , I <sub>CHG</sub> = 10mA (10%)			3.4		V
V <sub>UVCL_TH</sub>	V <sub>CC</sub> Fault Indicator Threshold into UVCL	V <sub>CC</sub> Falling, V <sub>BAT</sub> = 3.0V			3.45		V
	Hysteresis	$V_{BAT} = 3.0V$			50		mV
R <sub>CHG</sub>	Charge Switch On Resistance	$V_{BAT} = 3.6V$			0.5		Ω
V <sub>BAT_REG</sub>	Battery Charge Voltage	$V_{SEL1} = V_{SEL2} = V_{CC}$		4.339	4.350	4.361	V
			•	4.285	4.350	4.415	V
		$V_{SEL1} = V_{CC}, V_{SEL2} = GND$		4.190	4.200	4.210	V
			•	4.137	4.200	4.263	V
		$V_{SEL1} = GND, V_{SEL2} = V_{CC}$		4.090	4.100	4.110	V
			•	4.038	4.100	4.162	V
		$V_{SEL1} = V_{SEL2} = GND$		3.990	4.000	4.010	V
			•	3.940	4.000	4.060	V
V <sub>BAT_RECHRG</sub>	Recharge Battery Threshold Voltage	V <sub>BAT</sub> Falling, % of V <sub>BAT_REG</sub>	•	96.0	97.6	98.6	%
	Hysteresis	% of V <sub>BAT_REG</sub>			0.3		%
V <sub>BAT_TRKL</sub>	Precharge Battery Voltage Threshold	V <sub>BAT</sub> Rising, % of V <sub>BAT_REG</sub>	•	65	68	71	%
	Hysteresis	% of V <sub>BAT_REG</sub>			1		%
I <sub>CHG</sub>	Charge Current in Constant Current Mode	ISEL1 = ISEL2 = V <sub>CC</sub>	•	95	100	103.5	mA
		ISEL1 = V <sub>CC</sub> , ISEL2 = GND	•	45	50	53.5	mA
		ISEL1 = GND, ISEL2 = V <sub>CC</sub>	•	22	25	27.5	mA
		ISEL1 = ISEL2 = GND	•	8.5	10.0	11.5	mA
ICHG(PRE)	Precharge Current	$V_{PRECHG} = V_{CC}$ , % of $I_{CHG}$	•	6	10	14	%

### 電気的特性

### ●は規定動作ジャンクション温度範囲の規格値を意味する。それ以外はTA = 25°Cでの値。注記がない限り、VCC = 5V (Note2、3)。

SYMBOL	PARAMETER	CONDITIONS		MIN	TYP	MAX	UNITS
I <sub>C/10</sub>	C/10 Current Threshold in Constant Voltage Mode	I <sub>BAT</sub> Falling, % of I <sub>CHG</sub>			10		%
	Hysteresis				1		%
t <sub>T</sub>	Charge Termination Time		•	2.2	3.0	4.0	hours
t <sub>BB</sub>	Bad Battery Detection Time		•	30	45	60	mins
V <sub>NTC(COLD)</sub>	NTC Cold Threshold	V <sub>NTC</sub> Rising, % of V <sub>CC</sub>	•	73	75	77	%
V <sub>NTC(HOT)</sub>	NTC Hot Threshold	V <sub>NTC</sub> Falling, % of V <sub>CC</sub>	•	33	35	37	%
V <sub>NTC(HYS)</sub>	NTC Thresholds Hysteresis	% of V <sub>CC</sub>			5		%
R <sub>NTC(OPEN)</sub>	NTC Open Circuit Input Resistance to V <sub>CC</sub>	I <sub>NTC</sub> = -25μA	•	98.5	100	101.5	kΩ
V <sub>NTC(DIS)</sub>	NTC Disable Threshold	V <sub>NTC</sub> Rising, % of V <sub>CC</sub>	•	90	94	98	%
	Hysteresis	% of V <sub>CC</sub>			5		%
バッテリ放電							
	Battery Discharge PowerPath Forward Regulation Voltage	$V_{BAT,VCC}$ , $I_{VCC} = -10$ mA, $V_{BAT} \ge V_{BAT\_LBDIS}$		0	55	130	mV
	Battery PowerPath Forward Turn-On Threshold Voltage	V <sub>BAT,VCC</sub>			100		mV
	Battery PowerPath Reverse Turn-Off Threshold Voltage	V <sub>BAT,VCC</sub> , Not Charging			-100		mV
R <sub>DISCHG</sub>	Discharge Switch On Resistance	V <sub>BAT</sub> = 3.6V			0.5		Ω
	Maximum Battery Discharge Current Threshold for Safety Disconnect	V <sub>BAT</sub> = 3.6V			1.0		А
ロー・バッテ	リ遮断			,			
V <sub>BAT_LBDIS</sub>	Low Battery Disconnect Voltage	LBSEL = V <sub>CC</sub> , V <sub>BAT</sub> Falling	•	3.136	3.200	3.264	V
		LBSEL = GND, V <sub>BAT</sub> Falling	•	2.646	2.700	2.754	V
I <sub>BAT(LEAK)</sub>	Battery Leakage Current When Disconnected	V <sub>BAT</sub> < V <sub>BAT_LBDIS</sub>	•		0	50	nA
CHRG 状態ヒ	່ວ					· · · · · · · · · · · · · · · · · · ·	
ICHRG(LKG)	CHRG Open Drain Leakage Current	VCHRG = 5V				1	μA
ICHRG	CHRG Pull Down Current	V <sub>CHRG</sub> = 400mV		200	300	400	μΑ
f <sub>BLINK(SLW)</sub>	Blink Slow Frequency			0.6	0.8	1.1	Hz
f <sub>BLINK(FAST)</sub>	Blink Fast Frequency			4.5	6	8	Hz
デジタル入力	」ピン(VSEL1、VSEL2、ISEL1、ISEL2、LBSEL、PREC	HG)					_
V <sub>IL</sub>	Input Voltage Low		•	0.4			V
V <sub>IH</sub>	Input Voltage High		•			V <sub>CC</sub> - 0.4V	V
	Input Leakage Current	$0V \le V_{PIN} \le V_{CC}$	•	-1		1	μA

Note 1: 絶対最大定格に記載された値を超えるストレスはデバイスに永続的損傷を与える可能性がある。また、長期にわたって絶対最大定格条件に曝すと、デバイスの信頼性と寿命に悪影響を与える恐れがある。

Note 2: 注記がない限り、ピンに流れ込む電流は全て正であり、全ての電圧は GND を基準にしている。

**Note 3**: LTC4124は $T_J$ が $T_A$ にほぼ等しい条件でテストされる。LTC4124Eは $0^\circ$ C $\sim$ 85 $^\circ$ Cのジャンクション温度範囲で仕様に適合することが確認されている。 $-20^\circ$ C $\sim$ 85 $^\circ$ Cの動作ジャンクション温度範囲での仕様は、設計、特性評価および統計学的なプロセス・コントロールと

の相関で確認されている。これらの仕様を満たす最大周囲温度は、基板レイアウト、パッケージの定格熱抵抗および他の環境要因と関連した特定の動作条件によって決まることに注意。ジャンクション温度  $(T_J(^cC))$  は周囲温度  $(T_A(^cC))$  および消費電力  $(P_D(W))$  から次式に従って計算される。

 $T_J = T_A + (P_D \bullet \theta_{JA})$ 、ここで、 $\theta_{JA}$ (単位:°C/W)はパッケージの熱抵抗。

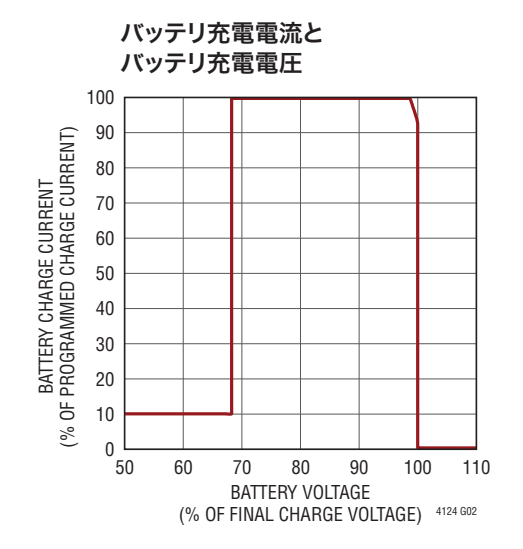
Rev. 0

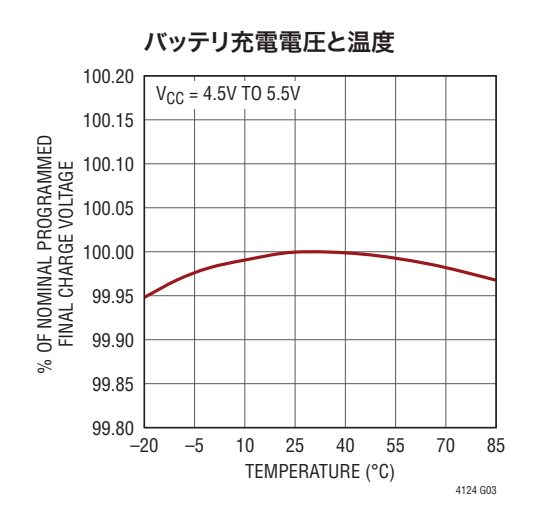
4

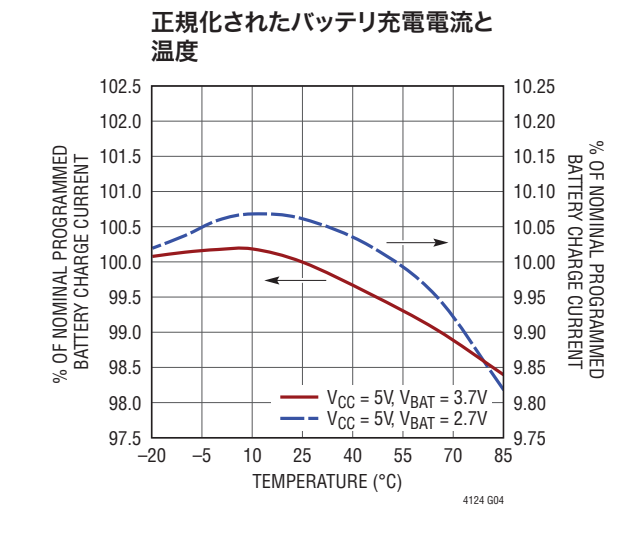
詳細:www.analog.com

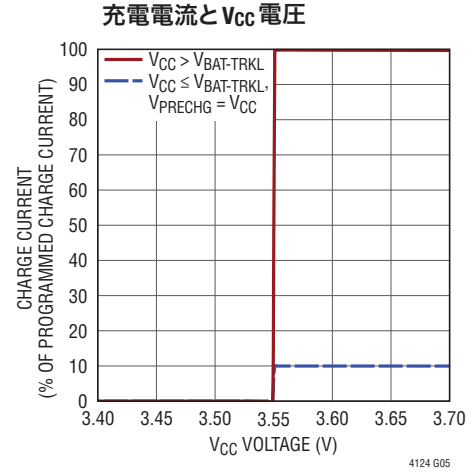
# 代表的な性能特性 特に指定のない限り、TA = 25°C。

Vcc電源の静止電流と温度 180 160 140 120 IV<sub>CC</sub> (µA) 100 80 60 40 V<sub>IN</sub> = 5.5V, V<sub>BAT</sub> = 4.5V V<sub>IN</sub> = 2.7V, V<sub>BAT</sub> = 2.7V 20 0 25 55 -20 -5 10 40 70 85 TEMPERATURE (°C) 4124 G01

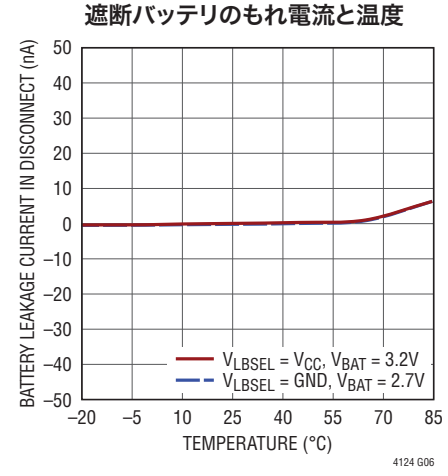


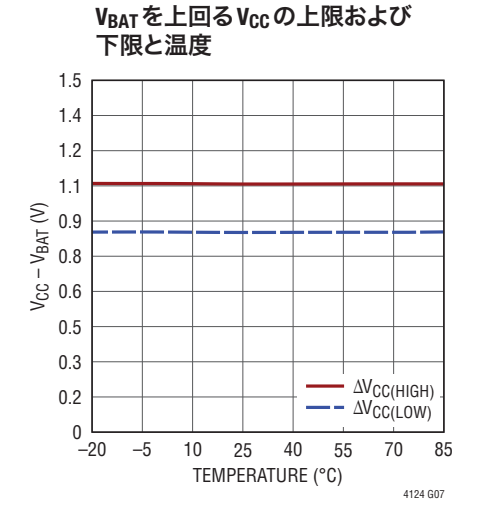






低電圧電流制限:





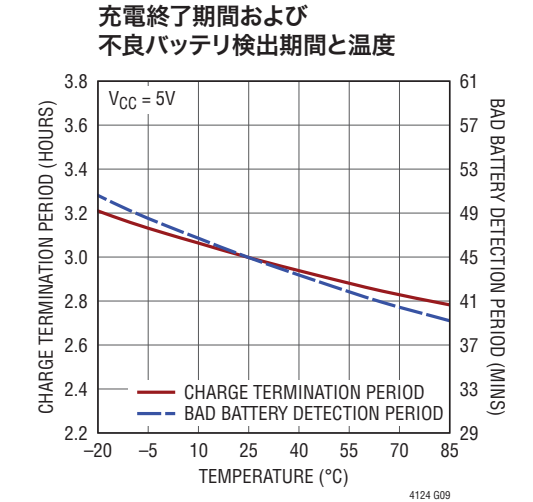
Rev. 0

5

### 代表的な性能特性 特に指定のない限り、TA = 25°C。

CHRG のプルダウン電流と温度 400  $V_{\overline{CHRG}} = 0.4V$ 300 360 340 320 300 280 280 260 240 220 200 -20 -5 25 40 70 85 TEMPERATURE (°C)

4124 G08



### ピン機能

 $V_{CC}$  (ピン1):システムDC電源。 $V_{CC}$ の電圧範囲は2.7V~5.5Vです。内部ダイオードがACINピン(アノード)とこのピン(カソード)の間に接続され、2番目の内部ダイオードがDCINピン(アノード)とこのピン(カソード)の間に接続されています。このピンの電圧は、DCINの電圧とACINピンのピークAC電圧の高い方によって決まります。このピンとGNDの間には2.2 $\mu$ Fの内部整流コンデンサが接続されています。このピンとGNDの間にオプションの追加容量を外部接続することができます。

**CHRG(ピン2)**: 充電ステータス・インジケータ。このピンは、300µAの電流源プルダウンを備えたオープンドレイン出力です。代表的なアプリケーションでは、このピンがLEDによってV<sub>CC</sub>にプルアップされます。このピンが取りうる4つの状態を表1に示します。

表1. CHRG のステータス

CHRG	Status
High Impedance	No Input Power
Blink Slow (0.8Hz)	Powered On and Charging
Blink Fast (6Hz)	Charging Paused due to Battery Temperature Out of Range, or
	Charging Stopped due to Bad Battery Detected, or
	Limited Charging due to Undervoltage Current Limit
Pull Down	End of Charge C/10 Reached or Charging Complete

PRECHG (ピン3):プリチャージ・イネーブル。プリチャージ・バッテリ閾値(VBAT\_TRKL)を下回るバッテリ電圧で低電流プリチャージをイネーブルするには、このピンにVCCを接続します。低電流プリチャージをディスエーブルするには、このピンをGNDに接続します。低電流プリチャージがディスエーブルされている場合、最終的な充電電圧を下回るバッテリ電圧に対してフル充電電流が供給されます。このピンは開放のままにしないでください。

VSEL1(ピン4): 充電電圧選択ビット1: バッテリ充電電圧を設定するには、このピンをV<sub>CC</sub>またはGNDに接続します。このピンは開放のままにしないでください。目的の充電電圧を設定する方法については、表2を参照してください。

VSEL2(ピン5): 充電電圧選択ビット2: バッテリ充電電圧を設定するには、このピンをV<sub>CC</sub>またはGNDに接続します。このピンは開放のままにしないでください。目的の充電電圧を設定する方法については、表2を参照してください。

表2. バッテリ充電電圧の設定

VSEL1	VSEL2	充電電圧
High	High	4.35V
High	Low	4.20V
Low	High	4.10V
Low	Low	4.00V

Rev. 0

### ピン機能

ISEL1(ピン6): 充電電流選択ビット1: バッテリ充電電流を設定するには、このピンをV<sub>CC</sub>またはGNDに接続します。このピンは開放のままにしないでください。目的の充電電流を設定する方法については、表3を参照してください。

ISEL2(ピン7): 充電電流選択ビット2: バッテリ充電電流を設定するには、このピンをV<sub>CC</sub>またはGNDに接続します。このピンは開放のままにしないでください。目的の充電電流を設定する方法については、表3を参照してください。

表3. バッテリ充電電流の設定

ISEL1	ISEL2	Charge Current
High	High	100mA
High	Low	50mA
Low	High	25mA
Low	Low	10mA

LBSEL(ピン8):ロー・バッテリ遮断電圧の選択。ロー・バッテリ遮断電圧レベルを設定するには、このピンをVCCまたはGNDに接続します。このピンは開放のままにしないでください。目的のロー・バッテリ遮断電圧レベルを設定する方法については、表4を参照してください。

表 4. ロー・バッテリ遮断電圧の設定

LBSEL	Disconnect Voltage
High	3.2V
Low	2.7V

NTC(ピン9): サーミスタの入力。NTCとGNDの間に100k $\Omega$ のサーミスタを接続します。このピンは、100k $\Omega$ 、1%の抵抗により内部的に $V_{CC}$ にプルアップされます。このピンの電圧レベルにより、充電しても安全なバッテリ温度であるかどうかが決まります。充電すると危険な温度であることがサーミスタによって示される場合、充電と充電タイマーが一時停止します。温度が安全な範囲内に戻った後、充電と充電タイマーが再開されます。規定充電温度機能をディスエーブルするには、このピンを $V_{CC}$ ピンに接続します。

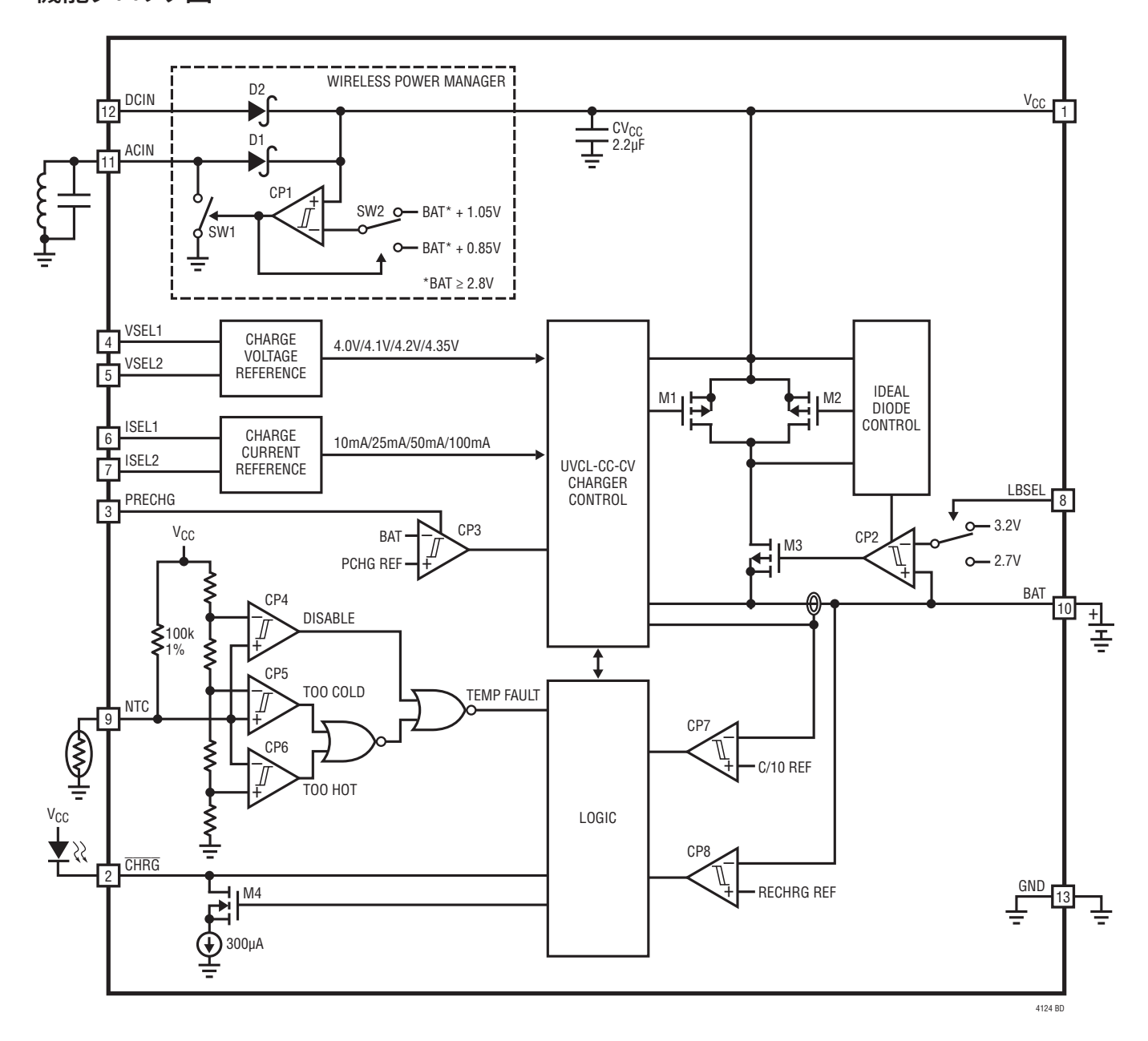
**BAT(ピン10)**: バッテリ。リチウムイオン・バッテリをこのピンに接続します。

ACIN(ピン11):AC入力電源電圧。外付けのLCタンク回路(受電インダクタとコンデンサ)をこのピンに接続します。内部ダイオードがこのピン(アノード)とV<sub>CC</sub>ピン(カソード)の間に接続されています。このピンのピーク電圧がDCINピンの電圧より高い場合、このピンはV<sub>CC</sub>ピンに電力を供給します。使用しない場合は、GNDに短絡します。

**DCIN (ピン12)**: オプションのDC入力電源電圧: 3.3V~ 5.5V。内部ダイオードがこのピン(アノード)と $V_{CC}$ ピン(カソード)の間に接続されています。このピンの電圧がACINピンのピーク電圧より高い場合、このピンは $V_{CC}$ ピンに電力を供給します。使用しない場合は、GNDに短絡します。

**GND (露出パッド、ピン13)**: デバイスのグラウンド。正常な電気的動作と定格熱性能を得るために、このグラウンド・ピンを適切な PCB の銅箔グラウンド・プレーンに接続します。

# 機能ブロック図



LTC4124はワイヤレスのシングル・セル・リチウムイオン・バッテリ・チャージャです。ワイヤレス・パワー・マネージャ、フル機能付きのリニア・バッテリ・チャージャ、理想ダイオードPowerPathTMコントローラという3つの主要部品で構成されています。

#### ワイヤレス・パワー・マネージャ

送電コイルを備えた送電回路と受電コイルを備えた受電回路で構成された、完全なワイヤレス電力転送システムです(図1)。LCタンクに接続されたLTC4124は、ワイヤレス電力転送システムの半分を占めるシンプルで完全なレシーバーを構成します。

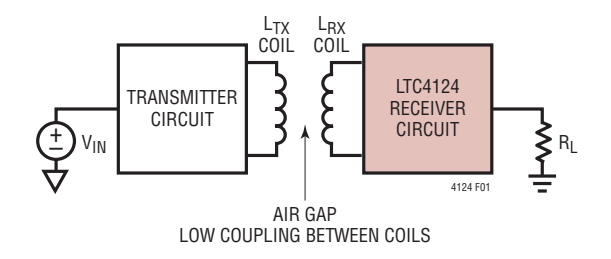


図1. ワイヤレス電力転送システム

ここからの説明では、機能ブロック図を参照してください。 外付けの並列共振LCタンクをACINピンに接続すると、 LTC4124は、送電コイルによって生成された交番磁界から の電力をワイヤレスで受け取ることができます。ダイオード D1は、ACINピンのAC電圧を整流します。コンパレータCP1、 スイッチSW1、スイッチSW2が協調して動作し、BATの電圧 が2.8V以上である場合は、V<sub>CC</sub>ピンの整流電圧を、BATピンの電圧より0.85V~1.05V高い電圧に調整します。

#### オプションの DC 電圧源を使用した動作

DCINピンに接続されたDC電圧源からLTC4124に対して、交互に給電することができます。ダイオードD1およびD2により、DCINピンの最大電圧またはACINピンのピークAC電圧が $V_{CC}$ に設定されます。このため、DCINピンの電圧がACINピンの瞬時 AC電圧より高い場合のみ、DCINピンは $V_{CC}$ ピンに電力を供給します。

### バッテリ・チャージャ

LTC4124には、ピンで設定可能なフル機能付きのCC/CV (定電流/定電圧)リニア・バッテリ・チャージャが搭載されており、安全タイマー終了、不良バッテリ検出、安全規格充電温度、自動再充電といった機能を備えています。充電電圧と充電電流は、ピン機能セクションに示した表2および表3に従って、ピンストラップによる設定が可能です。

図2および図3に示すのは、代表的な充電サイクルです。VCC ピンの電圧が3.4Vに達するとすぐに、チャージャがバッテリを充電し始め、充電サイクルが開始されます。充電サイクルの最初で、通常、バッテリ電圧が再充電閾値(最終充電電圧の97.6%)より低い場合、チャージャはCCモードで動作してフル設定電流でバッテリを充電します。

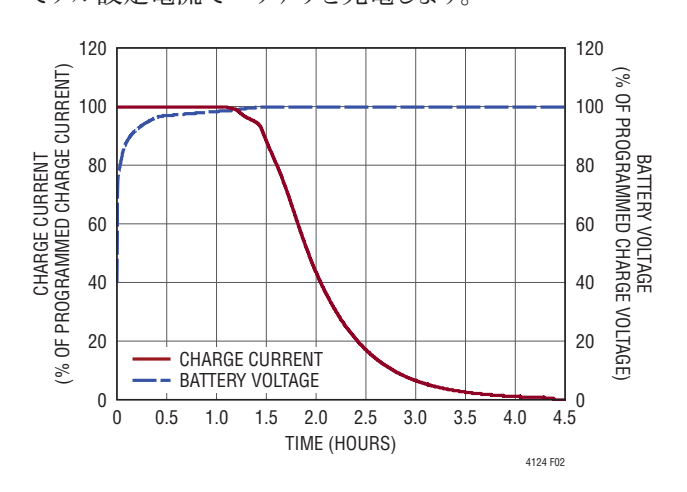


図2. プリチャージを無効化した場合の標準充電サイクル(0.5Cレート)と時間

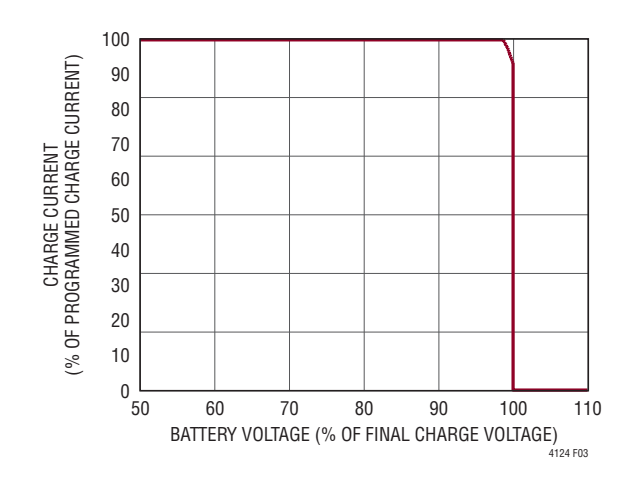


図3. プリチャージを無効化した充電サイクルでの 標準充電電流とバッテリ電圧

BATピンの電圧が最終充電電圧に近づくと、チャージャは CVモードに移行します。充電電流が低下し始め、3時間の 充電終了タイマーがスタートします。BATピンの電圧が適切な充電電圧に保たれている間、充電電流は低下し続けます。CCまたはCV充電中であることが、CHRGピンの低速ブリンク(0.8Hz)によって示されます。

CVモードでは、充電電流が設定されたフル充電電流から 10%低下すると、CHRGピンがブリンクを停止し、プルダウン・ステートになります。ただし、低下し続ける低い充電電流レベルで充電は継続されます。3時間の充電終了タイマーが切れると、充電は完全に停止します。新しい充電サイクルを開始するには、ACINまたはDCINの電力源を一旦取り外してから再接続します。

### 自動再充電

充電終了後、LTC4124がバッテリから消費するのはわずか 3.5μAです。この状態が長期間(容量が10mAh以上ある標準的なバッテリの場合は数日)続くと、この3.5μA電流と自己放電により、バッテリ電圧が低下して最終的に再充電閾値(VBAT\_RECHG)より低くなります。

バッテリが常に満充電になるように、 $V_{BAT\_RECHG}$  (通常は設定済みの充電電圧の約97.6%) よりバッテリ電圧が低くなると、新規の充電サイクルが自動的に始まります。 3 時間の安全タイマーが切れる前にバッテリ電圧が  $V_{BAT\_RECHG}$ を下回ると、タイマーがゼロにリセットされます。

### トリクル充電 - PRECHGピン

一部のバッテリ・メーカーは、深く放電したバッテリには低電流プリチャージ(トリクル充電)を使用することを推奨しています。PRECHGピンをV<sub>CC</sub>に接続すると、LTC4124のトリクル充電機能がイネーブルされます。

トリクル充電機能が有効になると、バッテリ電圧がプリチャージ用のバッテリ電圧閾値(VBAT\_TRKL、設定された充電電圧の68%)より低い場合、CCモードで供給される充電電流が、設定されたフル充電電流の10%まで低減します。図4および図5に、プリチャージを有効にした場合の標準的な充電サイクルを示します。

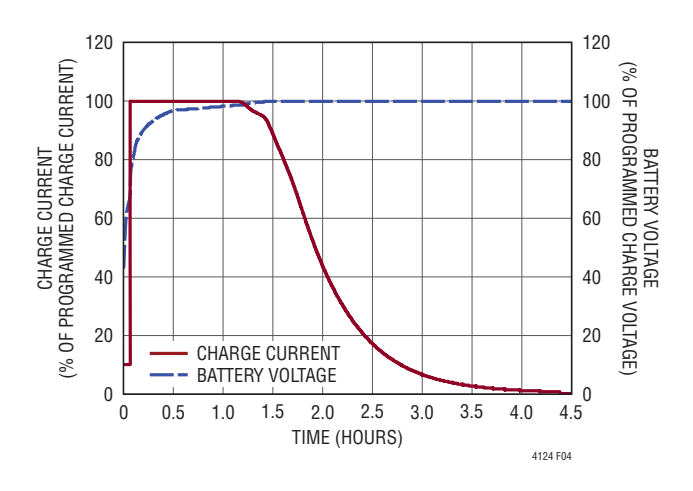


図4. プリチャージを有効にした場合の標準充電サイクル(0.5Cレート)と時間

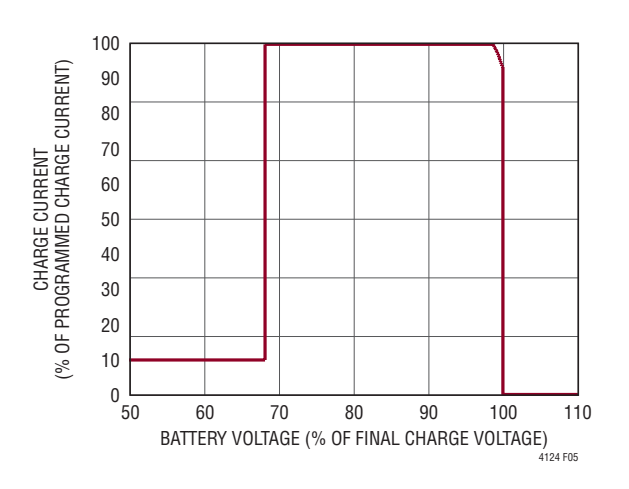


図5. プリチャージを有効にした充電サイクルでの 標準充電電流とバッテリ電圧

PRECHGピンをGNDに接続すると、LTC4124のトリクル充電機能がディスエーブルされます。トリクル充電を無効にすると、CCモードでフル充電電流が供給されるので、標準的な充電サイクルは図2および図3のようになります。

#### 不良バッテリの検出

充電サイクル中に、バッテリ電圧がプリチャージ電圧  $V_{BAT\_TRKL}$ より低い状態が不良バッテリ検出時間( $t_{BB}$ )より 長く続くと、バッテリに障害が発生したと見なされ、 $\overline{CHRG}$ ピンが高速ブリンク(6Hz)を通じてこの不良バッテリ・フォルト状態を通知します。

Rev. 0

10

詳細:www.analog.com

#### 低電圧電流制限(UVCL)

LTC4124チャージャは低電圧電流制限(UVCL)を備えており、 $V_{CC}$ 電圧が低下して3.4Vに近づくと、充電電流をフル設定値からゼロに向けて徐々に低下させます。 $V_{CC}$ 電圧が3.45Vより低くなると、 $\overline{CHRG}$ ピンが高速ブリンク( $\overline{G}$ Hz)によってUVCL障害を通知します。

この機能は特に、使用できるワイヤレス電力が限られている場合に有効です。UVCL機能を備えていない場合、受電コイルと送電コイルの間の電磁結合が低いと、チャージャがフル充電電流を供給しようとしたときに、VCC電圧が容認可能な最低動作電圧(2.7V)を下回る恐れがあります。VCCが最低動作電圧に達しない場合、LTC4124は即座に充電電流を強制的にゼロまで低下させて、VCC電圧が最低動作電圧より高くなるようにします。これにより、チャージャが再度ターンオンします。

この発振動作によって充電が断続的になることが想定されます。UVCL機能は、使用可能な入力電力の増減に合わせて充電電流を増加または減少させることで、この望ましくない動作を防止します。

#### 規定充電温度 - NTC

LTC4124にはNTCピンがあり、バッテリに熱結合した100kΩのNTC (負温度係数)サーミスタに接続することで、規定充電温度機能を提供します。機能ブロック図に示すように、コンパレータCP5およびCP6に温度検出が実装されています。

CP5の立上がり閾値は $V_{CC}$ の75% (低温閾値)に設定されており、CP6の立下がり閾値は $V_{CC}$ の35% (高温閾値)に設定されています。NTCピンの電圧が $V_{CC}$ の75%より高くなるか、 $V_{CC}$ の35%より低くなると、LTC4124は進行中の充電サイクルを一時停止します。NTCピンの電圧が $V_{CC}$ の40%~70%の範囲内に戻ると、充電が再開されます。

充電が一時停止されると、充電電流はゼロまで低下します。LTC4124が定電圧モードで充電しており、充電終了タイマーが実行中の場合、有効な温度への回復をサーミスタが通知するまでタイマーが一時停止します。同様に、バッテリ・チャージャがトリクル充電モードで充電しており、不良バッテリ検出タイマーが実行中の場合、有効な温度への回復をサーミスタが通知するまで不良バッテリ・タイマーが一時停止します。

LTC4124の規定充電温度機能を無効にするには、NTCピンを開放のままにするか、 $V_{CC}$ ピンに短絡します。この構成では、コンパレータ CP4 により、温度検出コンパレータ CP5 および CP6 の出力が無視され、温度障害が検出されなくなります。

### 充電ステータス・インジケータ

バッテリ・チャージャのステータスは、オープンドレインの CHRG ピンで通知されます。このピンには内部に300μAのプルダウン電流があります。このピンと VCC の間にLED を接続すると、ピン機能セクションの表1に示したとおりに充電ステータスと障害状態を通知できます。

#### ロー・バッテリ遮断

入力電力がなくバッテリ電圧が遮断電圧(VBAT\_LBDIS)より低くなると、LTC4124はシャットダウンして遮断スイッチM3 (機能ブロック図)を開放し、バッテリからの電流消費をなくします。これにより、更にバッテリが放電してバッテリ寿命を縮める損傷を引き起こすことを防止します。バッテリが遮断モードになった場合、ACINまたはDCINピンに電力を供給しない限り通常の機能を再開できません。

この遮断電圧レベルは、ピン機能セクションの表4に従い、 LBSELピンを使用して選択できます。

#### 出荷モード

LTC4124は出荷モード機能を備えています。この機能を有効化すると、バッテリ電圧レベルに関係なくバッテリからの電流消費がなくなります。この機能により、LTC4124を使用する全てのバッテリ駆動デバイスがお客様の手元に届いたときに、(最適な充電寿命を可能にする状態、またはフル充電状態の)充電済みバッテリがすぐに使用できる(最低限の放電)という見込みで、デバイスを工場から出荷できるようになります。

出荷モードは、LTC4124が理想ダイオード・モードになっている(バッテリ遮断電圧 $V_{BAT\_LBDIS}$ 以上の電圧で $V_{CC}$ がバッテリからサポートされている)ときに、DCINピンとACINピンの両方に1.5 $V(\pm 100 \text{mV})$ のDC電圧を同時に印加することで有効になります。

出荷モードに移行する前の $V_{CC}$ 電圧は、 $V_{BAT}$  – 50mVです。DCINピンとACINピンに同時に1.5Vを印加するとすぐに、 $V_{CC}$ の電圧が1.5Vよりダイオード降下分低い電圧(約0.7V)に降下し、デバイスが出荷モードになったことが示されます。最後に、DCINピンとACINピンを0Vに設定すると、 $V_{CC}$ ピンの電圧が0Vに下がります。

標準的なセットアップでは、R<sub>X</sub>コイルがACINピンとGNDの間に接続されています。このため、このコイル接続を一時的に取り除かない限り、1.5V DCでACINピンを駆動することは賢明とは言えません。出荷モードに移行するためのより現実的な代替手順を次に示します。

- 1. DCIN = 0Vの状態で、LTC4214が理想ダイオード・モードになっている(バッテリ遮断電圧  $V_{BAT\_LBDIS}$  以上の電圧で $V_{CC}$ がバッテリからサポートされている)ことを確認します。
- 2. トランスミッタをオンにして $T_X$ コイルと $R_X$ コイルを結合することで、LTC4124を充電モードにします(バッテリ電圧以上の電圧で $V_{CC}$ がACINによってサポートされてる)。
- 3. DCINピンを1.5V DCで駆動します。
- 4. トランスミッタをオフにします。

- 5. V<sub>CC</sub>電圧が、1.5Vよりダイオード降下分低い電圧(約0.7V)まで低下していることを確認します。
- 6. DCINピンから1.5VのDCソースを取り除き、このピンを 0Vにします。
- 7. VCCが0Vに低下することを確認します。

出荷モードになった後、LTC4124の通常機能を再開するのは、ACINピンまたはDCINピンに電力を供給して、VCCの電圧が2.7Vの最低動作電圧を上回った場合に限られます。

### BATからVccまでの理想ダイオード電力経路

LTC4124がロー・バッテリ遮断モードでも出荷モードでもない場合、理想ダイオード制御ブロック(機能ブロック図)は $V_{CC}$ を安定化し、BATピンと $V_{CC}$ ピンの間の電圧降下が50mVになるようにM2ゲートを駆動して、低損失の伝導を達成します。 $V_{CC}$ からの電流が高負荷の場合、M2は完全にオンに駆動され、BATと $V_{CC}$ を接続するM3にそのオン抵抗が追加されます。

充電制御ブロックがM1を駆動し、理想ダイオード制御ブロックがM2を駆動することで、充電モードから低損失の放電モードへのスムーズな遷移が可能になります。充電モードになっているとき、電流は $V_{CC}$ ピンからBATピンの方向に流れます。低損失放電(理想ダイオード)モードでは、電流はBATピンから流れ、 $V_{CC}$ ピンの電圧ができるだけBATピンの電圧に近くなるようにします。

Rev. 0

12

詳細:www.analog.com

LTC4124は、ワイヤレスのシングル・セル・リチウムイオン・バッテリ・チャージャを実現する全機能内蔵型の高集積ソリューションとして設計されています。このため、アプリケーション回路はシンプルで最小限の外付け部品しか必要ありません。

#### 部品の選択

DC 入力電圧のみでワイヤレス電力の入力がない単純なアプリケーションの場合、LTC4124を使用したシングル・セル・リチウムイオン・バッテリ・チャージャに外付け部品は必要ありません(図6)。このシンプルなアプリケーションはシングル・セル・リチウムイオン・バッテリ・チャージャとして完全に機能しますが、規定充電温度機能や充電ステータスを示す視覚的インジケータは備えていません。

規定充電温度機能を使用するには、負温度係数(NTC)サーミスタを追加する必要があります。視覚的な充電ステータス・インジケータを追加するには、VCCピンと CHRGピンの間にLEDを接続する必要があります。図6のアプリケーション回路にこれら2つの部品を追加したものを図7に示します。

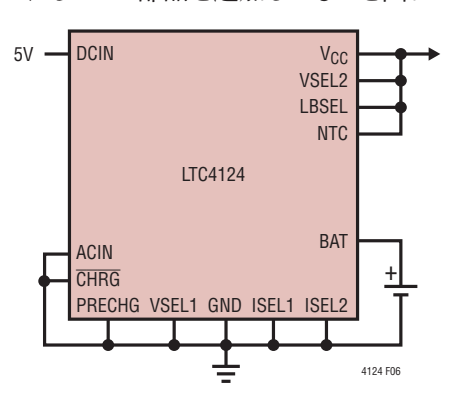


図 6. 規定充電温度および充電ステータス・インジケータなしの単純な10mA シングル・セル・リチウムイオン・チャージャ

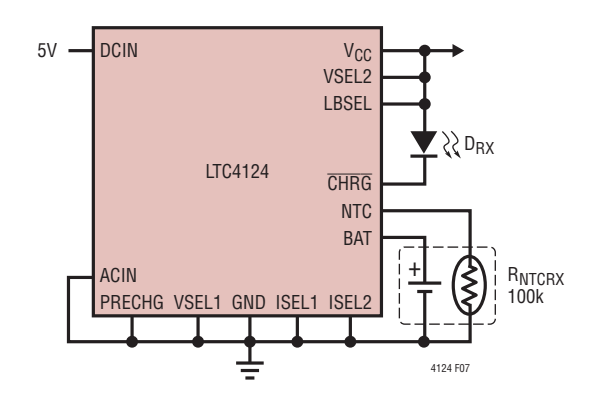


図7. DC 入力を備えた単純な10mA シングル・セル・リチウムイオン・チャージャ

#### **NTCサーミスタ**

バッテリの規定充電温度機能を使用するには、NTCピンと GNDの間に100kΩのNTCサーミスタを接続します。通常、サーミスタ・メーカーのデータシートに、温度参照表か、対応する抵抗に温度を関連付ける式が記載されています。表5に、LTC4124で使用できるいくつかのサーミスタを示します。

表 5. 推奨される NTC サーミスタ

メーカー	部品番号	説明
TDK	NTCG064EF104F	100kΩ, 1%, 0201
MURATA	NCP03WF104F	100kΩ, 1%, 0201

図7に示したセットアップでは、NTCサーミスタの抵抗が54kΩまで減少すると、LTC4124は高い温度での充電を一時停止します。表5に示したサーミスタの場合、これは約43°Cに相当します。温度が下がると、NTCサーミスタの抵抗が大きくなります。また、NTCサーミスタの抵抗が300kΩまで増加した場合も、LTC4124は充電を一時停止します。表5に示したサーミスタの場合、これは約3°Cに相当します。表5に示した同じサーミスタでは、高温および低温コンパレータにそれぞれ約5°Cのヒステリシスがあり、トリップ点の近くでの発振を防ぎます。

#### LED

CHRGピンに接続されたLEDには、300µAのプルダウン電流源から電力が供給されます。順方向電圧降下の低い高効率LEDを選択します。いくつかの推奨されるLEDを表6に示します。

表 6. 推奨される LED

メーカー	部品番号	説明
Kingbright	APG0603VGC	Green, 0201
Kingbright	APG0603SEC-E-TT	Red, 0201

#### ワイヤレス・パワー部品

LTC4124がワイヤレスで電力を受け取るには、機能ブロック図に示すように、並列LCタンクをACINピンに接続する必要があります。インダクタLが受電コイルの役割を果たし、容量Cと共に共振タンク回路を形成します。送電コイルと受電コイルの間の結合が弱いリンクを介した電力転送は(図1)、このタンク回路を送電コイルのAC電流の周波数と同じ周波数に調整することで大幅に改善できます。

### 受電コイル/共振インダクタL

受電コイルの選択で最も重要になるのが、次式で与えられるコイルの品質係数です。

$$Q_L = \frac{\omega_n L}{R_S}$$

ここで、 $\omega_n$ は動作共振周波数(単位: rad/s)であり、 $R_S$ はコイルの寄生直列抵抗です。この品質係数は多くの場合、アプリケーションのサイズによる制限を受けます。アプリケーションのサイズが小さいほど、高いインダクタンス値を生成するために小さい直列抵抗にワイヤを合わせることが難しくなります。このため、多くの場合で、初めにエンド・アプリケーションの全体サイズを考慮に入れてから、このエンド・アプリケーション・デバイスに使用できる最大限のコイルを選ぶことが推奨されます。

受電コイルのQ値を改善するためによく採用されるもう1つの方法は、コイルにフェライト・コアを使用することです。図8に示すのは、T<sub>X</sub>コイルとR<sub>X</sub>コイルの両方でシート形状として使用されることの多いフェライト・コアです。

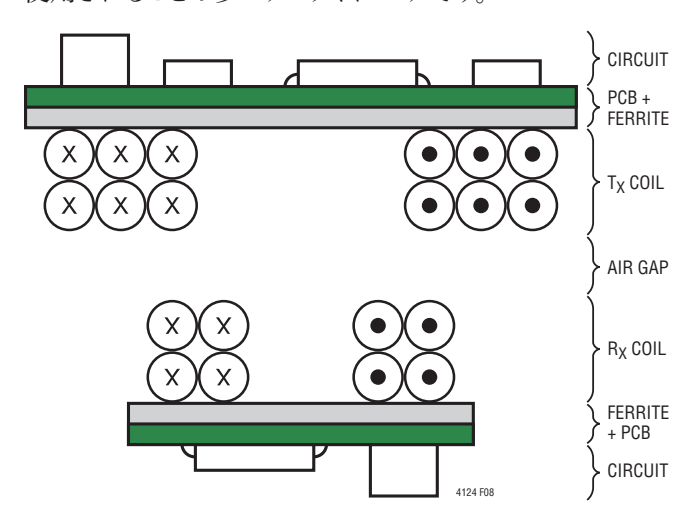


図8.フェライト・シートを使用したTxおよびRxコイルの断面図

このフェライト・コアの存在により、それぞれのコイルの自己インダクタンス値が増加することで、高いQ値が得られます。更に重要なのは、このフェライト材料を適切に配置すると、TxとRxコイルの間に磁界が形成されやすくなるので、コイル間の結合または相互インダクタンスが大幅に改善される点です。結合が強くなることで電力転送が改善され、高効率を達成できます。

また、このフェイライト・コアは、磁気リンクの反対側に配置されることの多い残りの送電および受電回路をシールドするのに役立ちます(図8のエア・ギャップ)。表7に、LTC4124を使用するアプリケーションに推奨される各種サイズのインダクタを示します。

表7. 推奨される受電コイル

メーカー	部品番号	説明
Wurth Elektronik	760308101216	7.2µH, 6mm ø
Wurth Elektronik	760308101208	13µH, 10mm ø
Wurth Elektronik	760308101220	12.6µH, 17mm ø

Rev. 0

14

詳細:www.analog.com

#### 共振周波数の選択

受電コイルの品質係数のセクションで説明したとおり、動作周波数が高いほどコイルの品質係数も高くなります。ただし、動作周波数を任意の高い値に設定するにはいくつかの制約事項があります。

1番目がコイルの自己共振周波数です。表7に示したコイルの自己共振周波数は、19MHz~32MHzの範囲で異なります。動作周波数はコイルの自己共振周波数の1/5未満に設定する必要があります。こうすることで、適切な共振コンデンサ値を選択することで、この動作周波数を十分に制御できます。

2番目の制約事項は、送電回路ドライバの機能と効率です。 ほとんどのワイヤレス・パワー・アプリケーションでは、送電 回路にDC/ACコンバータが含まれています。動作周波数が 高くなると、送電回路に含まれる一部のエレメントをより高 速にスイッチングする必要が生じます。これらのエレメントに 可能なスイッチング速度は、多くの場合、アーキテクチャまた はプロセス技術によって制限されます。また、スイッチング周 波数が高くなるとスイッチング損失が大きくなるので、全体 の効率は低下します。

このため、ガイドラインとして、選択したコイルおよび送電回路ドライバに適した高動作周波数を選択することを推奨します。最大のトレードオフは、高周波数で動作するほど送電回路ドライバの効率が下がるのに対し、コイルのQ値が高くなるほどコイル間で転送される電力が増加することです。LTC4124は、50kHz~10MHzの範囲の共振周波数で動作するシステムに適しています。

#### 共振コンデンサC

コイルと動作周波数を選択したら、次式に従って共振コンデンサの値を求めます。

$$C = \frac{1}{\omega_n^2 L}$$

ここで、 $\omega_n$ は動作共振周波数(単位:rad/s)であり、Lは受電コイルのインダクタンスです。COGまたはX7Rセラミックなどの、ESRと熱係数の両方が低いコンデンサを選択します。一

般に、コンデンサの電圧定格が高くなるほど、誘電材料の誘電正接が低くなり、サイズは大きくなります。コンデンサの誘電正接の主要成分の1つにESRがあります。この誘電正接は、通常、コンデンサの標準データシートには記載されていません。

表8に、LTC4124を使用するアプリケーションに推奨される 各種サイズのコンデンサを示します。

表 8. 推奨される共振コンデンサ

メーカー	部品番号	説明
Murata	GRM155R71H332JA01D	50V, 0402, 3.3nF
Murata	GRM155R71H683KE14J	50V, 0402, 68nF
Murata	GRM155R71H333KE14D	50V, 0402, 33nF
TDK	CGA4J2C0G1H333J125AA	50V, 0805, 33nF

#### 送電レベルの選択

送電レベルはできるだけ低くして、最も厳しい結合条件(最も厳しいアライメントで送電距離が最大になるケース)でも目的の出力電力をレシーバーが受け取れるようにする必要があります。LTC4124は、V<sub>CC</sub>電圧を所定の範囲内に維持するために、受電が過剰な場合はシャントする機能を備えていますが、過剰な電力をシャントする際に温度が上昇します。LTC4124およびエンド・アプリケーションの動作温度範囲を超えないようにするため、アプリケーション評価を慎重に行う必要があります。

アプリケーション回路の送電レベルを実験から決定する際は、はじめに送電コイルの仕様に基づく最大の定格電流に送電インダクタ電流を設定します。これを出発点として送電レベルを徐々に低下し、最も厳しい結合条件で受電側のLTC4124の充電電流に悪影響が及ぶまで調整します。この最小送電レベルが決まったら、完全充電されたバッテリを使用した最適な結合条件に従って送電および受電コイルを配置し、LTC4124による過剰電力のシャントによって温度が過度に上昇しないことを確認します。

温度以外にチェックする必要のあるパラメータは、ACINピンの最大負電圧です。上記手順に従って、最適な結合条件でLTC4124の温度上昇を評価するとき、 $V_{VCC} - V_{ACIN}$ が40Vを超えないことを確認します。図9に示すACINの標準的な波形は、 $V_{CC} - V_{ACIN} < 40V$ になっています。

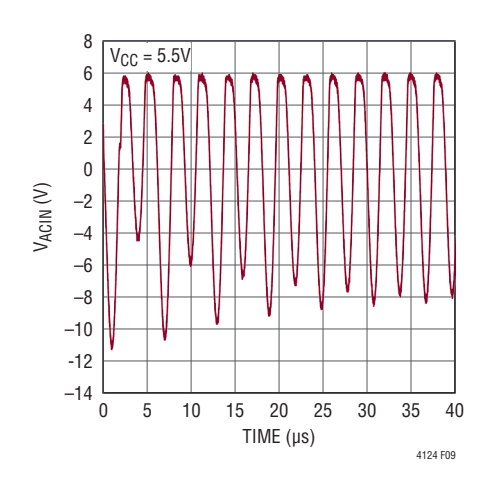


図9. 容認される標準的なACINピンの電圧波形、 Vcc - Vacin < 40V

ACINピンの最大負電圧を実験的な手法で決める代わりに、次の式を図10(レシーバーの並列共振構成)と組み合わせて使用することもできます。

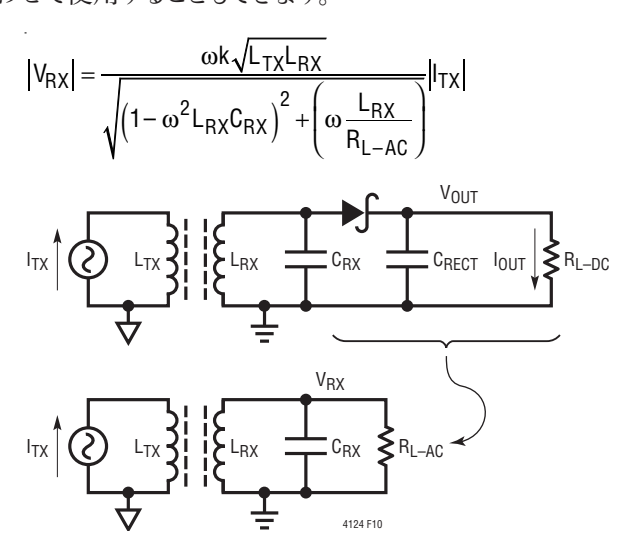


図10. 並列共振構成とレシーバーの 半波整流器のモデリング

 $|V_{RX}|$ は受電コイルの電圧の振幅、 $|I_{TX}|$ は送電コイルの電流の振幅で、kは送電コイルと受電コイルの間の結合係数です。また、 $\omega$ は動作周波数(単位:rad/s)、 $L_{TX}$ は送電コイルの自己インダクタンス、 $L_{RX}$ は受電コイルの自己インダクタンスで、 $C_{RX}$ はレシーバーの共振容量であり、 $R_{L-AC}$ は AC等価負荷抵抗です。

1つの方法として、次のように簡素化することができます。

$$R_{L-AC} \approx \frac{R_{L-DC}}{2}$$

ここでは、ショットキー・ダイオードによる電圧降下が振幅 ( $|V_{RX}|$ )よりも大幅に小さいと仮定しています。また、 $R_{L-DC}$ は、出力電流( $I_{OUT}$ )に対する出力電圧( $V_{OUT}$ )の比率として概算できます。

$$R_{L-DC} = \frac{V_{OUT}}{I_{OUT}}$$

送電コイルの電流振幅(|ITX|)は直接測定できますが、アプリケーション例で説明した送電回路に基づいて初期(レシーバーなし)の値を計算することもできます。送電コイルの電流振幅は、負荷のあるレシーバーが結合されるとすぐに低下するので、この初期値は控えめな見積もりになっています

2つのコイル間の結合係数(k)を求めるには、コイル寸法と物理構成を入力して有限要素法シミュレーションを実行します。この結合係数をより簡単に求める方法は、図11に示すように、2つの疎結合コイルに対して実験的な直列補助および直列相殺測定法を使用することです。

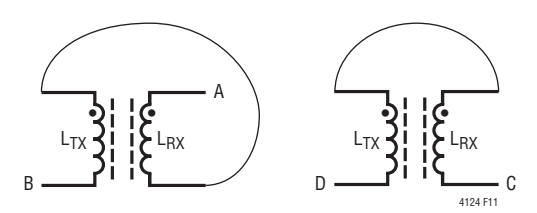


図11. 結合係数kを測定するために使用した直列補助 および直列相殺法の構成

Rev. 0

#### 追記:

$$\begin{split} L_{AIDING} &= L_{AB} \\ L_{CANCELLING} &= L_{CD} \\ k &= \frac{L_{AIDING} - L_{CANCELLING}}{4\sqrt{L_{TX}L_{RX}}} \end{split}$$

### PC基板レイアウトに関する検討事項

LTC4124のパッケージの露出パッドは唯一のグラウンド接続であり、チャージャとDC/DCコンバータの両方の帰還

経路として機能するので、PCBのグラウンドにハンダ処理して、良好な電気的接続を得る必要があります。ワイヤレス・パワー・マネージャ・ブロック(機能ブロック図)のシャント回路がデバイス内の電力をいくらか消費することで、ダイ温度が上昇する場合があります。熱性能を最適化するには、裏面の露出パッドの直下にビア群を配置し、第2層のグラウンド・プレーンに直接接続する必要があります。

図12に、完全なLTC4124アプリケーションのPC基板に推 奨されるレイアウトを示します。この汎用基板は設定可能な あらゆるピン配置に対応でき、直径はわずか5.2mmです。

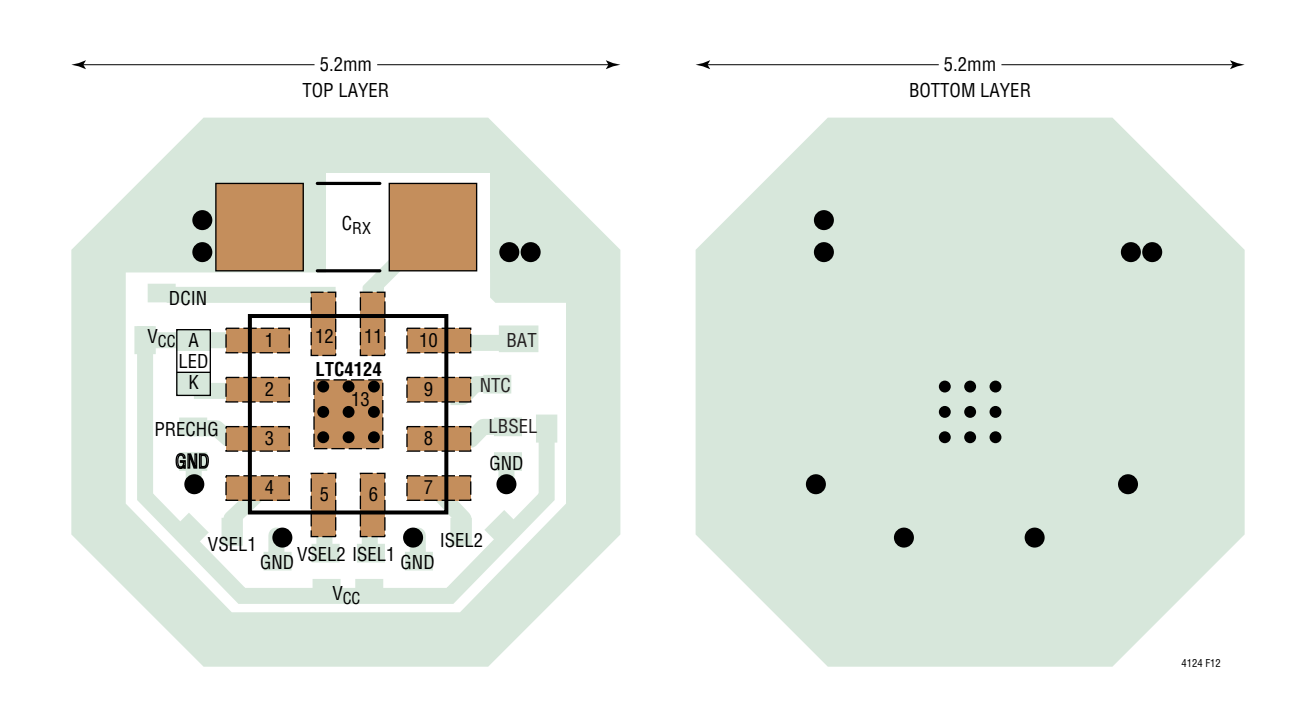


図12. 推奨される最小フットプリントのレイアウト

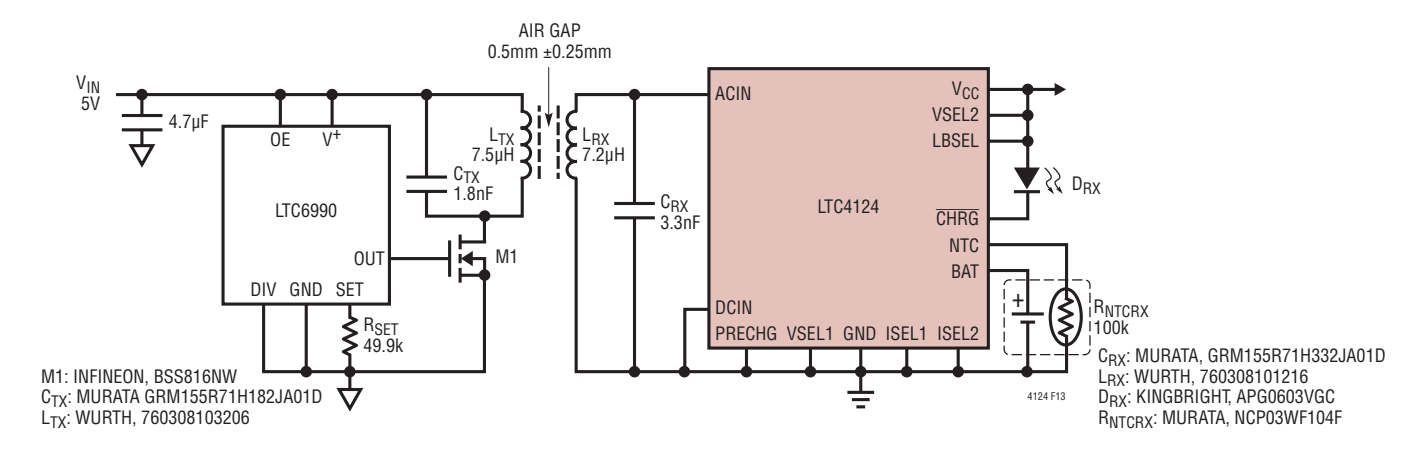


図13. シングル・トランジスタ・トランスミッタと10mAのLTC4124チャージャ・レシーバー

### 設計例1:シングル・トランジスタ・トランスミッタと 10mAのLTC4124チャージャ・レシーバー

図 13に示すシングル・トランジスタ・トランスミッタは、AC電流を送電コイル $L_{TX}$ に駆動できる DC/AC コンバータの例です。NMOS スイッチ M1 は、LTC6990 発振器によって生成される50% デューティ・サイクルの方形波で駆動されます。サイクルの前半ではM1がオンで、 $L_{TX}$ を流れる電流は線形に増加します。サイクルの後半はM1がオフで、 $L_{TX}$ を流れる電流は、 $C_{TX}$ と $L_{TX}$ で形成されるLCタンクを循環します。 $L_{TX}$ を流れる電流を図 14に示します。

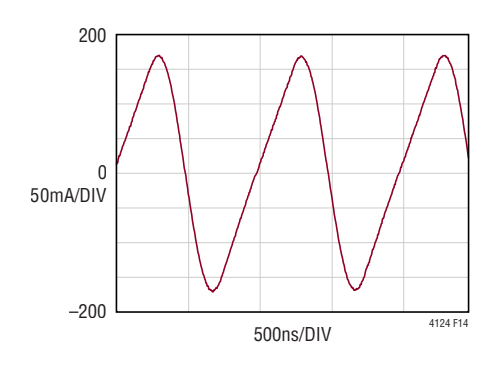


図14. 送電コイルを流れる電流

送電側のLCタンク周波数を駆動周波数の1.29倍に設定すると、M1のスイッチング損失は、ゼロ電圧スイッチング (ZVS)のため大幅に減少します。タンク周波数を異なる値に設定した場合のスイッチング波形の違いを図15および図16に示します。

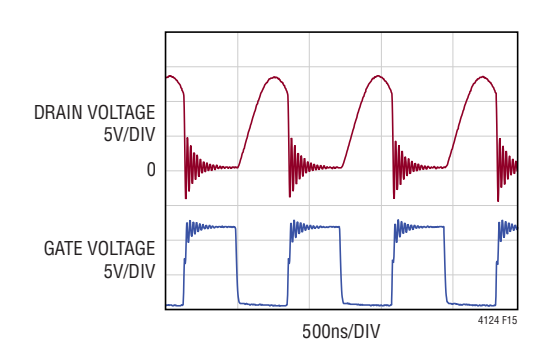


図15. f<sub>TX-TANK</sub> = f<sub>DRIVE</sub>の場合の NMOS M1のドレインとゲートの電圧

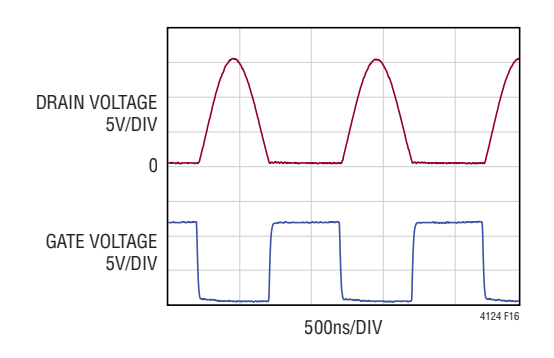


図16. f<sub>TX-TANK</sub> = 1.29 • f<sub>DRIVE</sub>の場合の NMOS M1のドレインとゲートの電圧

Rev. 0

18 詳細:www.analog.com

したがって、次の条件を満足するときZVS状態が達成されます。

f<sub>DRIVE</sub>は、LTC6990に接続されている抵抗R<sub>SET</sub>によって設定されます。f<sub>TX-TANK</sub>は次式で設定されます。

$$f_{TX-TANK} = \frac{1}{2\pi\sqrt{L_{TX} \cdot C_{TX}}}$$

M1のドレインに現れる送電コイルLTXのピーク電圧は次のとおりです。

$$V_{TX-PFAK} = 1.038 \bullet \pi \bullet V_{IN}$$

また、LTXを流れるピーク電流は次のとおりです。

$$I_{TX-PEAK} = \frac{0.36 \cdot V_{IN}}{f_{TX-TANK} \cdot L_{TX}}$$

L<sub>TX</sub>を流れるRMS電流は次のとおりです。

レシーバー側のLCタンク回路(L<sub>RX</sub>およびC<sub>RX</sub>)は、送電側LCタンク回路の駆動周波数と同じ周波数に調整されます。

$$f_{RX-TANK} = f_{DRIVE}$$

ここで、fRX-TANKは次式で与えられます。

$$f_{RX-TANK} = \frac{1}{2\pi\sqrt{L_{RX} \cdot C_{RX}}}$$

 $f_{DRIVE}$ は $R_{SET}$ の値を変更することで容易に調整できるため、最小限の部品(つまり、 $C_{RX}$ の標準値)を使用して $f_{RX-TANK}$ を選択し、その後  $f_{DRIVE}$ を調整して一致させるのが最善の方法です。レシーバーの共振周波数の選択には、共振周波数の選択のセクションに記載したガイドラインを使用してください。

送電コイルを流れるAC電流の量を増やすには、電源電圧  $(V_{IN})$  を高くします。伝送電力の量は送電コイルを流れるAC電流に比例するので、 $V_{IN}$ を変化させて受電コイルへの電力供給を調整できます。電源電圧を調整する際、LTC6990 ピンの絶対最大定格電圧と、NMOS M1 のドレイン-ソース間の定格電圧を超えないように注意する必要があります。

図13に示す回路内の各部品の値を決定するために必要な手順を次に示します。

1. レシーバーの共振周波数を求めて、レシーバーのLCタンク回路の部品の値を設定します。

前のセクションで説明したように、共振周波数はコイルの自己共振周波数の1/5未満で、トランスミッタ・ドライバ回路の能力範囲内になるように選択します。この例では、 $R_X$ コイルの自己共振周波数が32MHzで、 $T_X$ コイルの自己共振周波数が23MHzです。23MHzの1/5は4.6MHzです。

この例のトランスミッタ・ドライバ回路は、Infineon (BSS816NW)からNチャンネルのMOSFETを駆動するLTC6990です。この特定のMOSFETには600pCの合計ゲート電荷( $Q_g$ )があります。LTC6990の出力ドライバ抵抗は150 $\Omega$ です。したがって、MOSFETのゲート波形に予想される時定数は90nsになります。この波形の立上がり時間と立下がり時間が波形の合計時間の20%を超えないようにするには、この波形の最大スイッチング周波数を約1MHzにします。

レシーバーの部品点数が少なくて済む共振周波数を選択して、スペース制約を受けることの多いレシーバー・ デバイスのフットプリントを最小化するのが最善の方法 です

この例では、レシーバーの共振周波数として 1MHzを選択します。1MHzでは、選択した受電コイル $(7.2\mu H)$ に必要なタンク容量 $(C_{RX})$ は3.3nFです。3.3nFはコンデンサの標準値なので、タンク容量に必要な部品は1個だけです。9ンク容量の計算を次に示します。

$$C_{RX} = \frac{1}{4 \cdot \pi^2 \cdot f_{RX-TANK}^2 \cdot L_{RX}} = 3.5 \text{nF} \approx 3.3 \text{nF}$$

共振コンデンサの選択に関するガイダンスに従い、フットプリントを容認可能なサイズに維持しながら高電圧定格を持つ3.3nFのコンデンサを選択します。この例では、電圧定格が25Vで小さい0603フットプリントの3.3nFのコンデンサを選択します。

2. シングル・トランジスタ・トランスミッタの駆動周波数 (fDRIVE)を設定します。

f<sub>DRIVE</sub>は、レシーバーの共振周波数と同じ値に設定します。

$$R_{SET} = \frac{1MHz}{f_{OUT}} \bullet \frac{50k\Omega}{N_{DIV}} = \frac{1MHz}{1MHz} \bullet \frac{50k\Omega}{1} = 50k\Omega$$

ここで、LTC6990のDIVピンは接地されているので、 $N_{DIV} = 1$ です。許容誤差が1%で49.9k $\Omega$  (標準値)の抵抗を選択します。発振器の詳細については、LTC6990のデータシートを参照してください。

3. シングル・トランジスタ・トランスミッタのLCタンク回路の 部品の値を設定します。f<sub>DRIVE</sub>が1MHzである場合、送 電側のLCタンク周波数(f<sub>TX-TANK</sub>)は次のとおりです。

この例で使用した送電コイル $(L_{TX})$ は7.5 $\mu$ Hです。送電側のタンク容量の値 $(C_{TX})$ は、次のように計算できます。

$$C_{TX} = \frac{1}{4 \cdot \pi^2 \cdot f_{TX-TANK}^2 \cdot L_{TX}} = 2.0nF$$

M1のドレインの寄生容量を考慮に入れて、 $C_{TX}$ 値に 1.8nFを選択します。 $C_{TX}$ コンデンサの推奨定格は50Vで、許容誤差は5%(以内)です。

4. 送電コイルを流れるAC電流が十分に定格の範囲内であることを確認します。この例では、シングル・トランジスタ・トランスミッタの電源電圧は5Vです。送電コイル(LTX)を流れるAC電流のピーク値は、次のように計算できます。

$$I_{TX-PEAK} = \frac{0.36 \cdot V_{IN}}{f_{TX-TANK} \cdot L_{TX}} = \frac{0.36 \cdot 5V}{1.29 \times 10^6 \cdot 7.5 \mu H}$$

 $I_{TX-PEAK} = 0.19A$ 

また、RMS電流は次のとおりです。

$$I_{TX-RMS} = 0.66 \bullet 0.19A = 0.13A$$

I<sub>TX-RMS</sub> は送電コイルの最大定格電流である1.55Aを 十分下回っています(詳細については、Wurth Elektronik 760308103206のデータシートを参照)。

5. また、選択した送電レベルによってLTC4124が過剰に発 熱したり、ACINピンに過剰な負電圧がかかったりしない ことも確認してください。

送電レベルの選択のセクションに記載したガイドラインを使用し、完全充電されたバッテリを使用した最適な結合条件に従って送電および受電コイルを配置してから、LTC4124の定常状態の温度を測定します。更に、Vvcc – Vacinを検証します。

最適な結合条件は通常、コイル間のエア・ギャップが最も小さく、2つのコイルが同心で配置されているときに実現します。ただし、この特定の例では送電コイルが楕円形になっています。図17に、この例の2つのコイルで最適な結合条件を実現するための物理的な2D配置を示します。

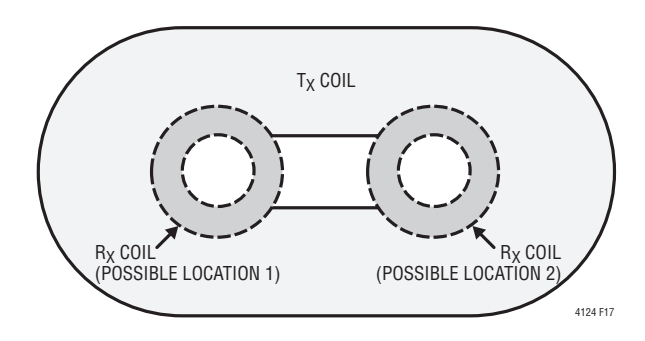


図17. 設計例1のコイルに対する最適な結合条件

エア・ギャップを最小の0mmに設定した場合、LTC4124の最大温度上昇は12°Cで、VVCC – VACINの最大値は13Vになります。

この結果は、送電レベルの選択のセクションに示した 代替の計算式を使用して検証されました。推奨される 方法を使用した場合、最適な結合条件における結合値 は0.04になります。この結合値を使用すると、ACINに 生じる最低負電圧値は-8Vと予測されます。以上から、 VVCC - VACINの推定最大値は実験で検証されたとおり に13Vとなります。

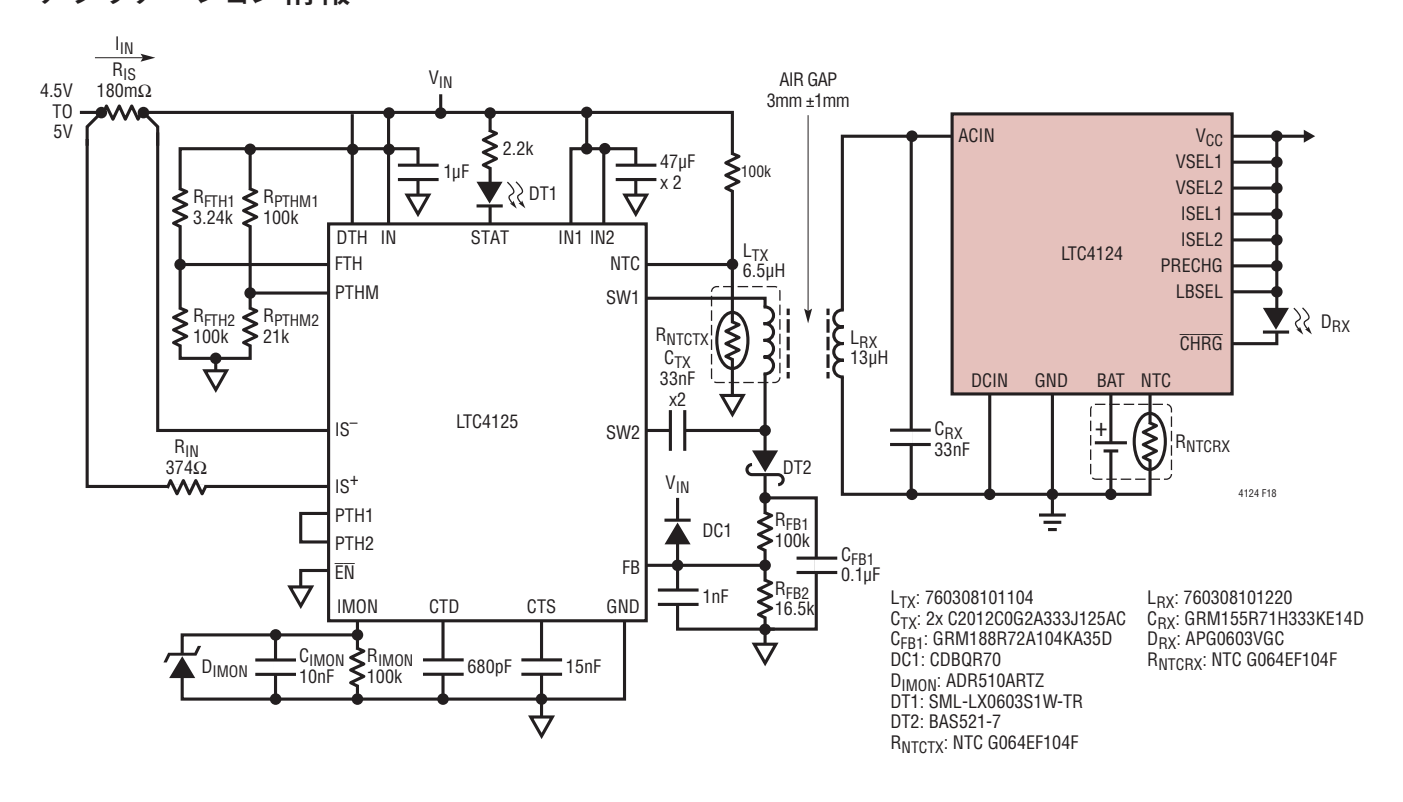


図18. LTC4124 100mA チャージャ・レシーバーとLTC4125 AutoResonant トランスミッタ

### 設計例2:LTC4124 100mA チャージャ・レシーバーと LTC4125 AutoResonant<sup>®</sup>トランスミッタ

図18に、100mAで充電するLTC4124を使用したワイヤレス・バッテリ・チャージャ・アプリケーションの回路図全体を示します。送電回路で使用しているのは、LTC4125 AutoResonantワイヤレス・パワー・トランスミッタICです。

LTC4125は、スイッチ・ピンに接続された直列LC回路網をその共振周波数で駆動します。図19に示すように、LTC4125のAutoResonant Driveにより、SW1ピンとSW2ピンの間の電圧が、トランスミッタの直列LC回路網の電流と常に同相になるように調整されます。

また、LTC4125はSW1ピンとSW2ピンの間の電圧のパルス幅を変化させて、送電コイルの電流量を制御します。図20に、デューティ・サイクルが50%未満の駆動パルス幅を使用した場合のトランスミッタLCタンクの電流波形および電圧波形を示します。

LTC4125にはレシーバー負荷の検出機能が備わっており、 レシーバーが存在しない場合は低消費電力動作状態に移

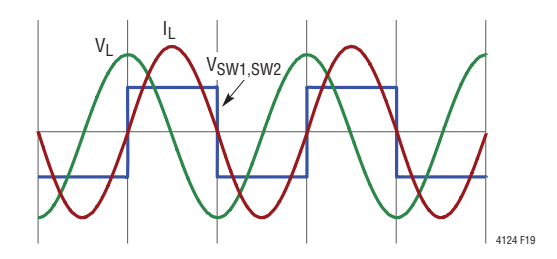


図 19.50% のデューティ・サイクルでの V<sub>SW1,SW2</sub>の トランスミッタ直列 LC タンクの電圧波形と電流波形

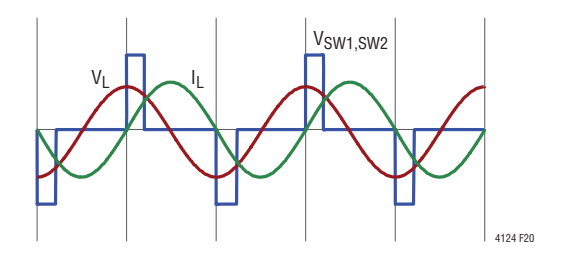


図20.50% 未満のデューティ・サイクルでの V<sub>SW1,SW2</sub>のトランスミッタ直列 LC タンクの電圧波形と電流波形

Rev. (

行します。また、異物検出機能があるため、導電性の異物に 誤ってワイヤレス送電しないように防止できます。LTC4125 の動作およびアプリケーションの詳細については、LTC4125 データシートを参照してください。

図18に示す回路内の各部品の値を決定するために必要な手順を次に示します。

1. レシーバーの共振周波数を求めて、レシーバーのLCタンク回路の部品の値を設定します。

設計例1と同様に、共振周波数はコイルの自己共振周波数の1/5以下で、トランスミッタ・ドライバ回路の能力範囲内になるように選択します。この例では、 $R_X$ コイルの自己共振周波数が19MHzで、 $T_X$ コイルの自己共振周波数が20MHzです。19MHzの1/5は3.8MHzです。

LTC4125トランスミッタICの最大スイッチング周波数は 320kHzです。レシーバーの部品点数が少なくて済む共振周波数を選択して、フットプリントを最小化するのが 最善の方法です。

この例では、レシーバーの共振周波数として240kHzを 選択します。240kHzでは、選択した受電コイル(13 $\mu$ H)に 必要なタンク容量( $C_{RX}$ )は33nFです。

共振コンデンサの選択のセクションに記載したガイダンスに従い、この例では、電圧定格が50Vで小さい0402フットプリントの33nFのコンデンサを選択します。

2. トランスミッタLCタンクの部品の値を設定し、レシーバーの共振周波数と一致するようにします。

トランスミッタLCタンクの周波数  $(f_{TX-TANK})$ も 240kHz に設定されています。この例で使用した送電コイル  $(L_{TX})$  は  $6.5\mu$ H です。送電側のタンク容量の値  $(C_{TX})$  は、次のように計算できます。

$$C_{TX} = \frac{1}{4 \cdot \pi^2 \cdot f_{TX-TANK}^2 \cdot L_{TX}} = 66nF$$

この例での $C_{TX}$ コンデンサの推奨定格は100Vで、許容 誤差は5%(以内)です。

3. 最大負荷の最も厳しい結合条件でもレシーバーに必要な電力を供給するための、トランスミッタ・ドライバの最小パルス幅を決定します。

 $L_{RX}$ 、 $C_{RX}$ 、 $L_{TX}$ 、 $C_{TX}$ を上記で決定したとおりに設定し、 4.1V (CCモードでの最大バッテリ電圧  $\rightarrow$  最大出力電力)のバッテリ電圧で、最も厳しい結合条件 ( $T_X$  コイルと $T_X$  コイルのエア・ギャップが最大)でレシーバー回路を配置します。この例での最も厳しい結合条件は、同心に配置された2つのコイル間の間隔が5.5mmになるように設定されました。トランスミッタのPTHピン ( $T_{Y}$ )の DC電圧を変化させながら、 $T_{Y}$  以 $T_{Y}$  以 $T_{Y}$  に図 21は、この例でのこれらの測定値をプロットしたものです。

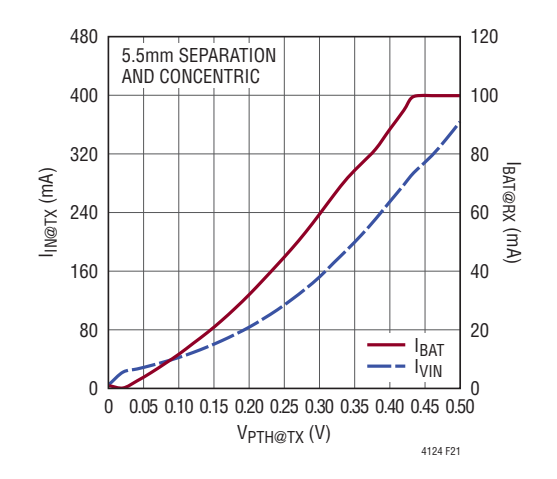


図21. I<sub>IN</sub>およびI<sub>BAT</sub>とV<sub>PTH</sub>

図21から、レシーバーがフル充電電流に達するのに必要なVPTH(VPTHM)の最低電圧は0.43Vであることが読み取れます。これは、送電回路のスイッチ・ピン間の駆動電圧で、13%のデューティ・サイクルに相当します。

4. ステップ3で選択した最小パルス幅において、送電コイルを流れるAC電流が定格範囲内に十分収まっており、LTC4124の過剰な温度上昇も、ACINピンでの過剰な負電圧も発生していないことを確認します。

前のステップで求めた最小パルス幅を使用し、レシーバー回路を最適な結合条件(この例での最適な結合条件は、同心に配置された $T_X$ コイルと $R_X$ コイルの間隔が1.5mm)で配置し、バッテリ・ピンを4.3Vに設定します(充電電流ゼロ→最小出力電力)。 $I_{L-TX(RMS)}$ 、 $\Delta T_{LTC4124}$ 、 $V_{ACIN-MIN}$ を測定します。 $V_{PTH} = 0.43$ V(前のステップより)、 $V_{BAT} = 4.3$ Vに設定し、最適な結合条件および定常状態で測定されたパラメータは次のようになります。

 $I_{L-TX(RMS)}$  = 1.0A、 $\Delta T_{LTC4124}$  = 32°C、 $V_{ACIN-MIN}$  = -8.5V。  $I_{L-TX(RMS)}$  は送電コイルの最大定格電流である 2.5A を十分下回っています(詳細については、Wurth Elektonik 760308101104のデータシートを参照)。 32°C の温度上昇と ACINピンの最低負電圧は、LTC4124の定格動作条件の範囲内に十分収まっています。

この結果は、送電レベルの選択のセクションに示した 代替の計算式を使用して検証されました。推奨される 方法を使用した場合、最適な結合条件における結合値 は0.5になります。この結合値を使用すると、ACINに生 じる最低負電圧値は-8.5Vと予測されます。以上から、 Vvcc - Vacinの推定最大値は実験で検証されたとおり に14Vとなります。 5. ステップ3で求めたトランスミッタ・ドライバの最小パルス 幅に基づいて、RPTHM1 および RPTHM2 の値を決定しま す。

 $R_{PTHM1} = 100k\Omega$ に設定します。 $R_{PTHM2}$ は次式を使用して算出できます。

$$R_{PTHM2} = \frac{\left\lfloor \frac{32 \cdot V_{PTHM}}{2.4} \right\rfloor + 0.5}{32 - \left( \left\lfloor \frac{32 \cdot V_{PTHM}}{2.4} \right\rfloor + 0.5 \right)} \cdot R_{PTHM1}$$

$$= 20.8k\Omega$$

$$\approx 21k\Omega \text{ (standard 1% resistor value)}$$

Floor 関数の括弧内の値は端数を切り捨てて最も近い整数にします。

6. 最小負荷で最適な結合条件の下での負荷検出に対して、RIS、RIN、RIMON、CIMONを決定します。

ステップ4で使用したのと同じセットアップで $V_{BAT}=4.3V$ に設定すると、送電基板への入力電流は、 $I_{IN}=240$ mA( $I_{TH}$ )として測定されます。検出抵抗 $R_{IS}$ による電圧降下を約40mVに設定した場合、 $R_{IS}$ は次式に従って計算されます。

$$\begin{split} R_{IS} &= \frac{40 mV}{I_{IN}} = \frac{40 mV}{240 mA} = 167 m\Omega \\ &\approx 180 m\Omega \; \text{(standard 1% sense resistor value)} \end{split}$$

 $R_{\rm IS}$ による電圧降下が $40{\rm mA}$ になるように $R_{\rm IN}$ を $374\Omega$ に設定すると、IMONピンが $107\mu{\rm A}$ を供給します。このソース電流が $D_{\rm IMON}$ にバイアスをかけ、負荷検出のためにIMONピンで1Vを生成します。 $C_{\rm IMON}$ が $10{\rm nF}$ になるように設定して、IMONピンの電圧にいくらかのフィルタリングを提供します。また、 $R_{\rm IMON}$ を $100{\rm k}\Omega$ に設定して、IMONピンにソース電流が存在しない場合に $C_{\rm IMON}$ を放電します。

7. LTC4125の負荷検出中のステップ時間に対して $C_{TS}$ を決定します。

ステップ時間を、観察された $V_{IMON}$ のセトリング時間の約5倍である50msに設定します。

$$C_{TS} = 5 \cdot \frac{10\mu A \cdot T_S}{32 \cdot 1.2V} = 1.3 \times 10^{-6} \cdot T_S(s)$$

≈ 15nF (standard capacitor value)

8. レシーバーが検出されなかった場合の $R_{FB1}$ と $R_{FB2}$ を決定します。

ステップ3で求めた最小パルス幅とレシーバーなしの状態で、 $I_{\rm IN}$ および $V_{\rm LC-TX}$ の振幅を測定します。この例では、 $R_{\rm X}$ が存在せず、 $V_{\rm PTH}=0.43$  V の場合、 $I_{\rm IN}=580$  mAで、 $|V_{\rm LC-TX}|=40$  V になります。

同じ測定を、レシーバーありの最も厳しい結合条件 ( $T_X$  コイルと $R_X$  コイルの間隔が最大)で、バッテリ・ピンを 4.3V(ゼロ充電電流  $\rightarrow$  最小出力電力)に設定して、実行します。この例では、ステップ4のセットアップを使用して、 $V_{PTH}=0.43V$ 、 $I_{IN}=450$ mA、 $|V_{LC-TX}|=25V$ に設定します。

ステップ3で求めた $V_{PTH}$ では、 $V_{PTH}$ では、 $V_{PTH}$ では、 $V_{PTH}$ では、 $V_{C-TX-MAX}$ )で、最小負荷で $V_{C-TX-MIN}$ の場合が25 $V_{C-TX-MIN}$ になります。 $V_{ET}$ と、 $V_{ET}$  ないように計算できます。

$$\begin{split} \frac{V_{LC-TX-MIN}-V_D}{V_{IN}} - 1 &< \frac{R_{FB1}}{R_{FB2}} < \frac{V_{LC-TX-MAX}-V_D}{V_{IN}} - 1 \\ & \frac{25V-1V}{5V} - 1 < \frac{R_{FB1}}{R_{FB2}} < \frac{40V-1V}{5V} - 1 \\ & 3.8 < \frac{R_{FB1}}{R_{FB2}} < 6.8 \end{split}$$

以上から、比率が6になるように設定します。 $R_{FB1}$  +  $R_{FB2}$ の合計抵抗の推奨値は約100k $\Omega$ なので、 $R_{FB1}$  = 100k $\Omega$ 、 $R_{FB2}$  = 16.5k $\Omega$ に設定します。

9. 異物が検出された場合のRFTH」とRFTH2を決定します。

ステップ 1 および 2 に記載したように、選択された共振周波数は 240kHz です。最適な結合条件下で重負荷の場合、 $T_X$  および  $R_X$  に形成される 2 つの LC 共振結合の動作周波数は、最大 300kHz になります。このため、異物検出の周波数閾値として、最大動作周波数を約 3%上回る 310kHz を設定します。次の式に従い、 $R_{FTH2}=100k\Omega$ 、 $R_{FTH1}$  に設定します。

$$\begin{split} R_{FTH1} = & \left( \frac{320 \text{kHz}}{f_{LIM}} - 1 \right) \bullet R_{FTH2} \\ = & \left( \frac{320 \text{kHz}}{310 \text{kHz}} - 1 \right) \bullet 100 \text{k}\Omega = 3.23 \text{k}\Omega \\ \approx & 3.24 \text{k}\Omega \text{ (standard 1% resistor value)} \end{split}$$

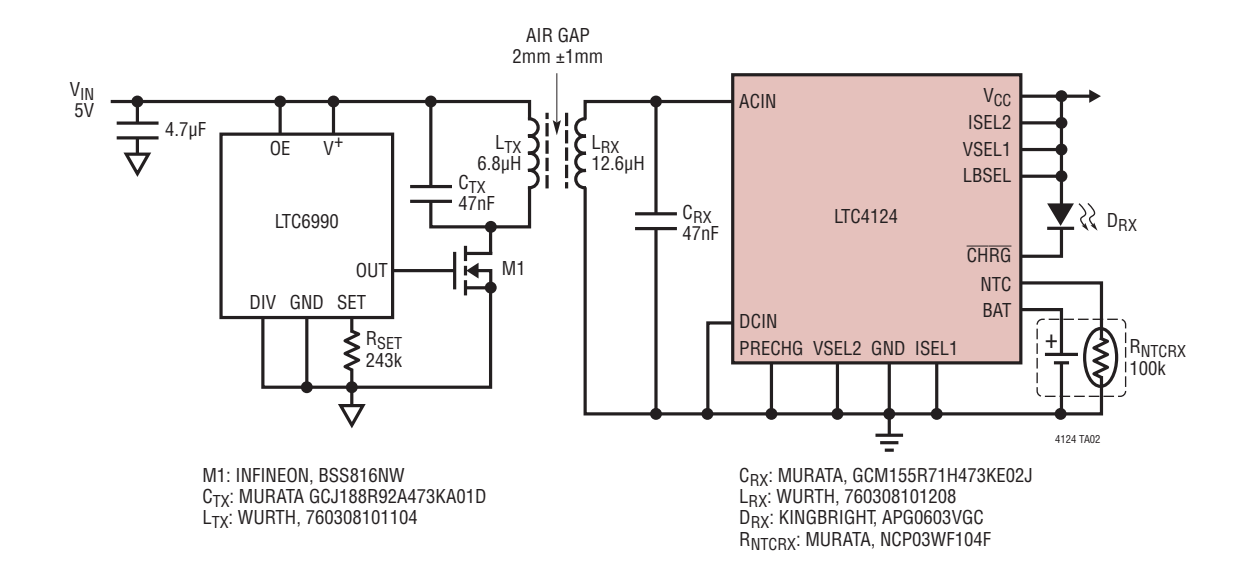
10. それぞれの負荷検出の間の遅延として、C<sub>TD</sub>の値を決定します。

待機時間を5秒に設定します。次に、CTDの値を次式を使って計算します。

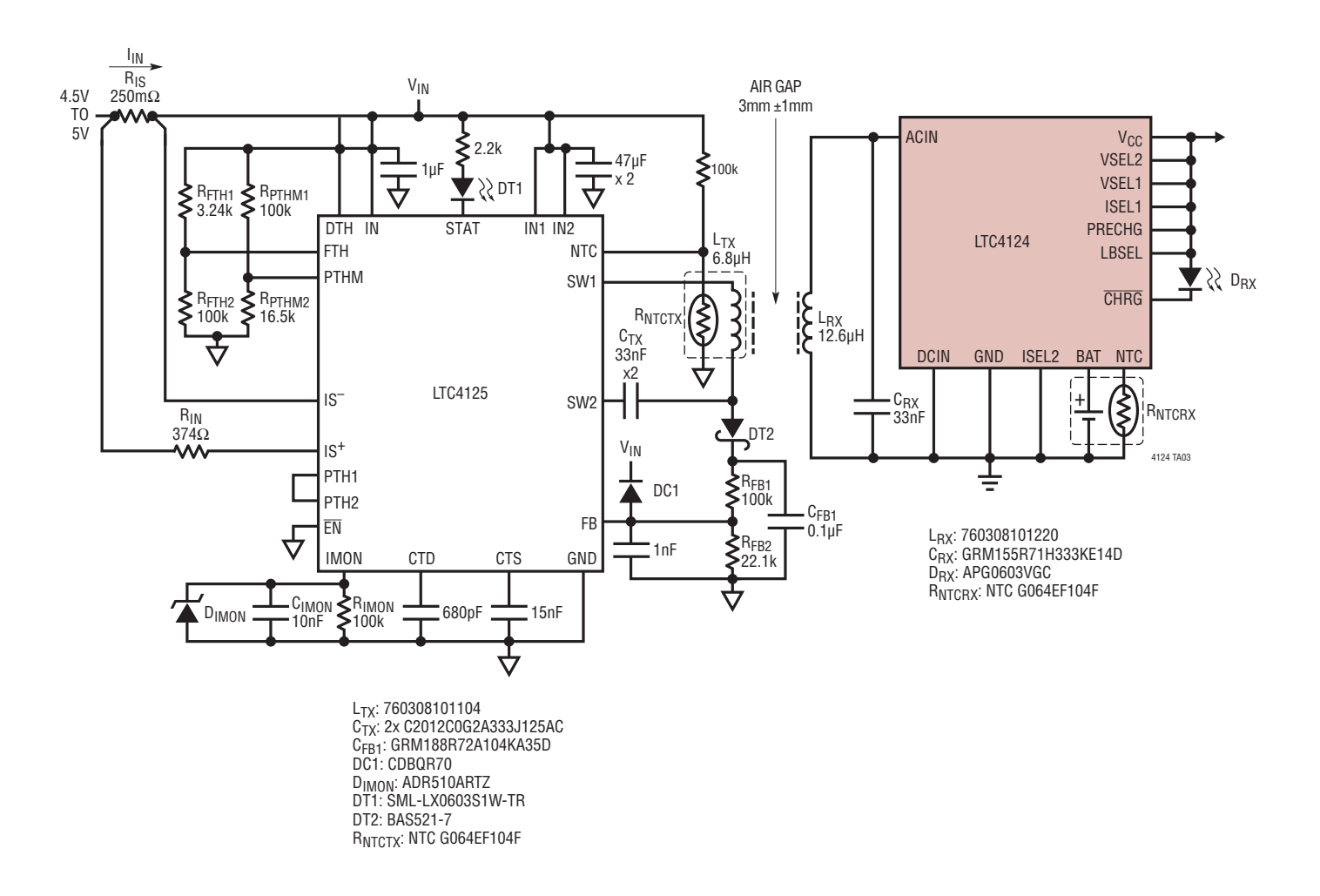
$$C_{TD} = \frac{10\mu\text{A} \cdot \text{T}_D}{65 \times 10^3 \cdot 1.2\text{V}} = 1.3 \times 10^{-10} \cdot 5 \approx 680 \text{pF}$$

# 標準的応用例

10mm の Rx コイルを使用した 25mA LTC4124 チャージャ・レシーバーとシンプルなシングル・トランジスタ・トランスミッタ

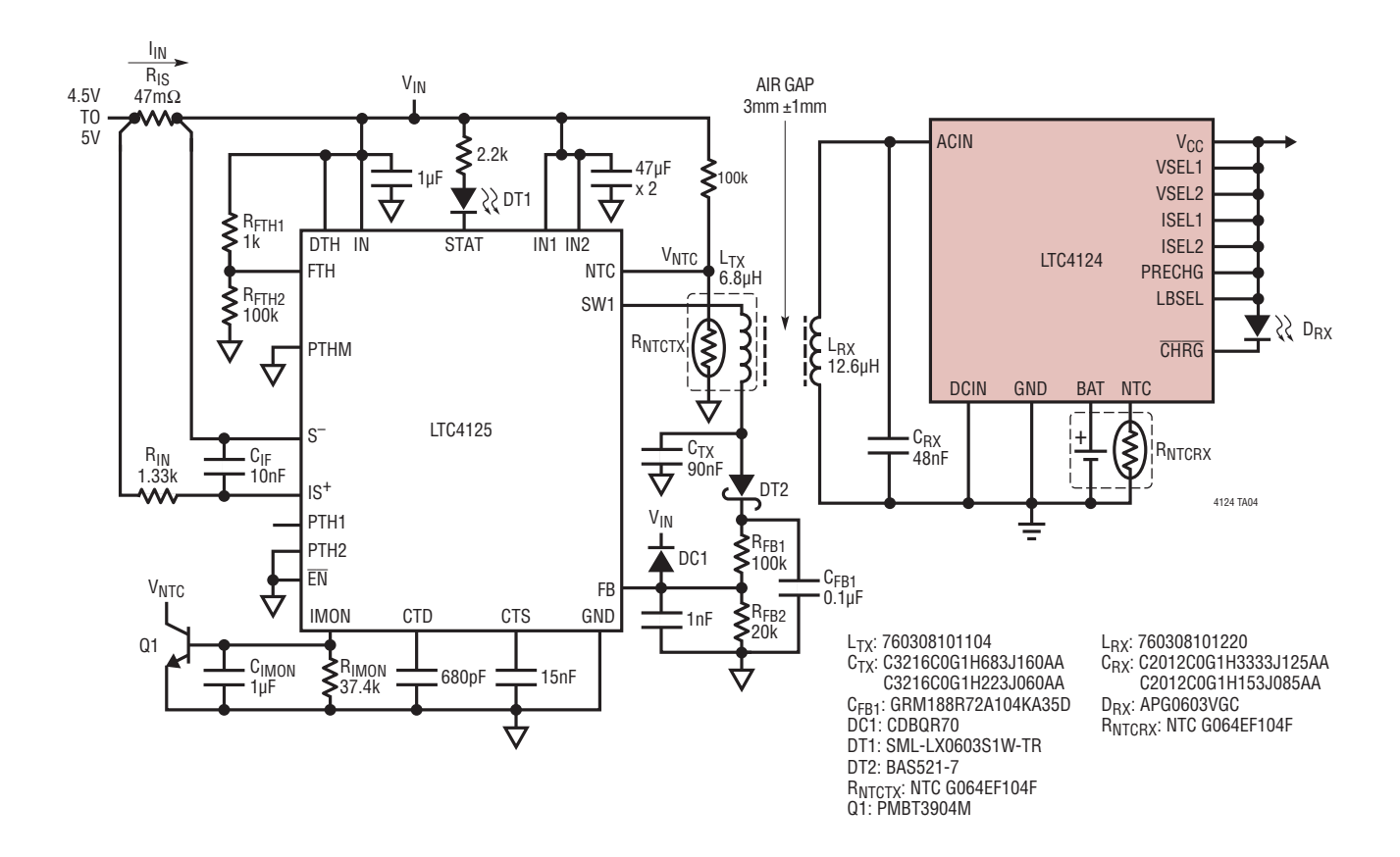


LTC4124 50mA チャージャ・レシーバーとLTC4125 AutoResonantトランスミッタ



# 標準的応用例

100mA チャージャ・レシーバーとLTC4125 AutoResonantトランスミッタ、Optimum Power Search 動作 (LTC4125をハーフブリッジ共振ドライバとして構成)



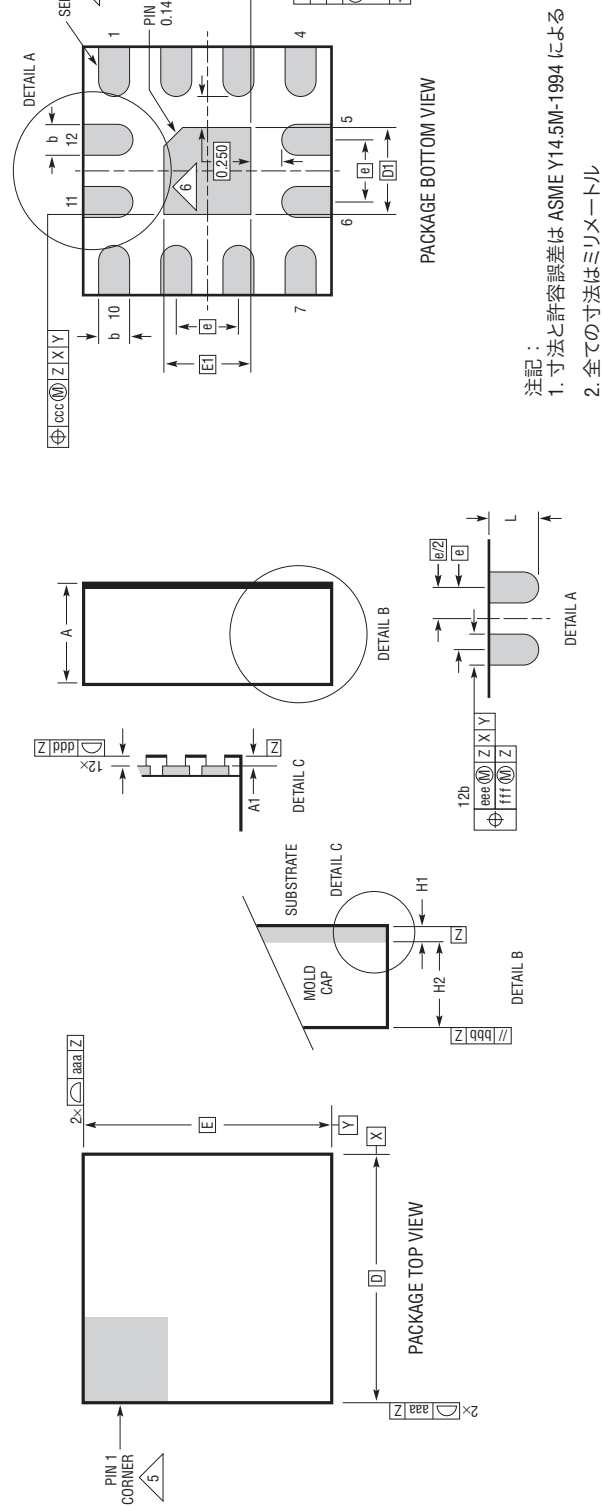
# パッケージ

- PIN 1 NOTCH 0.14 × 45°

A X Z (M) ⊃⊃⊃ (+)

SEE NOTES

(Reference LTC DWG # 05-08-1530 Rev B) 12-Lead (2mm  $\times$  2mm  $\times$  0.74mm) **LQFN Package** 



LQFN 12 0618 REV B SUBSTRATE THK MOLD CAP HT NOTES 0.10 0.10 0.15 0.83 0.03 0.10 0.28 MAX 0.50DIMENSIONS 0.24 REF 0.50 REF N 0 0 0.74 0.25 0.70 0.02 0.40 2.00 2.00 0.70 0.50 0.65 0.01 0.30 0.22 SYMBOL aaa ppp 000 ppp eee 딥 Н2 A1 q ш  $\Box$ Ф Ξ

放熱用露出部の角にはオプションで丸みを付けることができる

G

1番ピンの識別マークはオプションだが、表示の領域内に 設ける必要がある。1番ピンの識別マークはモールドでも マーキングでもかまわない

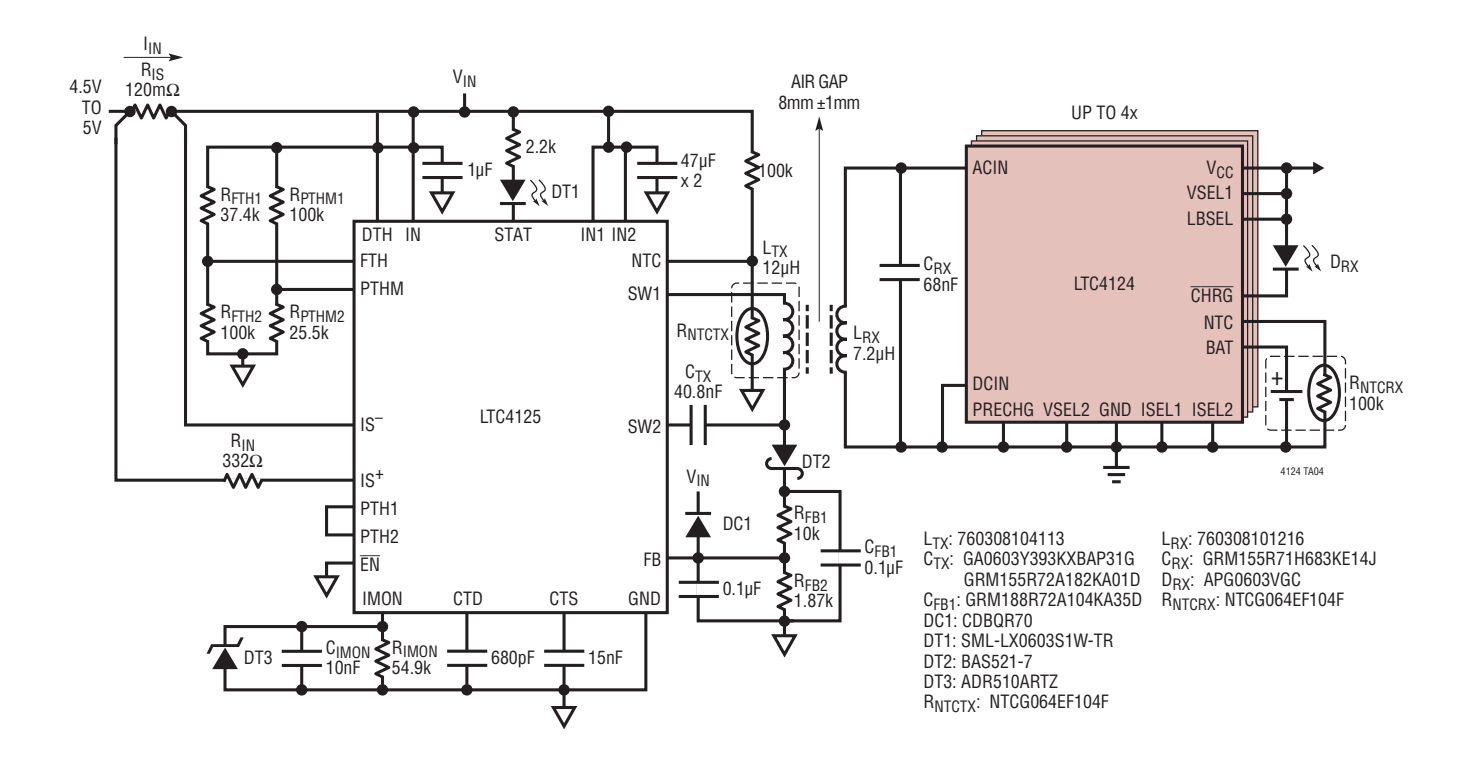
2

4 これらの端子と放熱部が見えにくくならないように、 ハンダ・マスク開口部の下にある金属部は表示されていない

3. 主データム -Z- はシーティング・プレーン

### 標準的応用例

#### 最大4つの最小サイズのLTC4124 10mA チャージャ・レシーバーと1つのLTC4125 AutoResonantトランスミッタ



# 関連製品

製品番号	説明	注釈
LTC4123	補聴器向け低消費電力ワイヤレス・ チャージャ	ワイヤレス NiMH チャージャ、温度補償された充電電圧、25°C で 1.5V、25mA 充電電流、2mm×2mm DFN-6パッケージ。
LTC4126	補聴器向け降圧レギュレータ付き低 消費電力リチウムイオン・ワイヤレス・ チャージャ	ワイヤレス・シングル・セル・リチウムイオン・チャージャ、内部温度規定充電、25°Cで4.2V、7.5mA充電電流、高効率の1.2Vレギュレータ内蔵、2mm×2mm LQFNパッケージ。
LTC4070	リチウムイオン/ポリマー・バッテリ 向けのシャント・バッテリ・チャージャ・ システム	低動作電流(450nA)、温度およびシャント電流の全範囲で1%のフロート電圧精度、50mA の最大内部シャント電流(外付けPFET使用時は500mA)、ピン選択可能なフロート電圧。4.0V、4.1V、4.2V。パルスを使った超低消費電力のNTCフロート電圧調整により、リチウムイオン/ポリマー・バッテリを保護、8ピンの2mm×3mmDFNおよびMSOPパッケージ。
LTC4071	ロー・バッテリ遮断機能付きリチウムイ オン/ポリマー・バッテリ向けシャント・ バッテリ・チャージャ・システム	パック保護機能内蔵、10nA未満のロー・バッテリ遮断機能によりバッテリの過放電を防止。低動作電流(550nA)、温度およびシャント電流の全範囲で1%のフロート電圧精度、50mAの最大内部シャント電流、ピン選択可能なフロート電圧。4.0V、4.1V、4.2V。パルスを使った超低消費電力のNTCフロート電圧調整により、リチウムイオン/ポリマー・バッテリを保護、8ピンの2mm×3mm DFNおよびMSOPパッケージ。
LTC6990	TimerBlox:電圧制御シリコン発振器	固定周波数または電圧制御動作。
LTC4125	5W AutoResonant ワイヤレス・パワー・トランスミッタ	モノリシック AutoResonant <sup>TM</sup> フル・ブリッジ・ドライバ。電力伝送により、レシーバーの 負荷を自動的に調整、異物検出、広い動作スイッチング周波数範囲:50kHz~250kHz、 入力電圧範囲:3V~5.5V、20ピン4mm×5mm QFNパッケージ。
LTC4120	ワイヤレス・パワー・レシーバー/ 400mA降圧バッテリ・チャージャ	1~2セルのワイヤレス・リチウムイオン・チャージャ、400mA充電電流、動的調和制御、 広い入力電圧範囲: 12.5V~40V、3mm×3mm QFN-16パッケージ。